

# Konstrukcijska razrada i proračun čvrstoće traktorskog utovarivača za velike vreće

---

Jurič, Zvonimir

**Undergraduate thesis / Završni rad**

**2025**

*Degree Grantor / Ustanova koja je dodijelila akademski / stručni stupanj:* **University of Zagreb, Faculty of Mechanical Engineering and Naval Architecture / Sveučilište u Zagrebu, Fakultet strojarstva i brodogradnje**

*Permanent link / Trajna poveznica:* <https://urn.nsk.hr/urn:nbn:hr:235:034496>

*Rights / Prava:* [In copyright/Zaštićeno autorskim pravom.](#)

*Download date / Datum preuzimanja:* **2025-04-03**

*Repository / Repozitorij:*

[Repository of Faculty of Mechanical Engineering and Naval Architecture University of Zagreb](#)



SVEUČILIŠTE U ZAGREBU  
FAKULTET STROJARSTVA I BRODOGRADNJE

# ZAVRŠNI RAD

Ime Prezime: Zvonimir Jurić

Zagreb, 2025. godina.

SVEUČILIŠTE U ZAGREBU  
FAKULTET STROJARSTVA I BRODOGRADNJE

# ZAVRŠNI RAD

Mentori:

Prof. dr. sc. Momir Sjerić

Student:

Zvonimir Jurič

Zagreb, 2025. godina.

Izjavljujem da sam ovaj rad izradio samostalno koristeći znanja stečena tijekom studija i navedenu literaturu.

Zahvaljujem se prof. dr. sc. Momiru Sjeriću na stručnoj podršci, savjetima i mentorstvu tijekom izrade ovog rada.

Zvonimir Jurič



SVEUČILIŠTE U ZAGREBU  
FAKULTET STROJARSTVA I BRODOGRADNJE

Središnje povjerenstvo za završne i diplomske ispite

Povjerenstvo za završne i diplomske ispite studija strojarstva za smjerove:  
Procesno-energetski, konstrukcijski, inženjersko modeliranje i računalne simulacije i brodostrojarski



Sveučilište u Zagrebu	
Fakultet strojarstva i brodogradnje	
Datum	Prilog
Klasa: 602 - 04 / 25 - 06 / 1	
Ur.broj: 15 - 25 -	

## ZAVRŠNI ZADATAK

Student:

Zvonimir Jurić

JMBAG: 0035220844

Naslov rada na hrvatskom jeziku:

Konstrukcijska razrada i proračun čvrstoće traktorskog utovarivača za velike vreće

Naslov rada na engleskom jeziku:

Design and stress analysis of tractor big bag lifter

Opis zadatka:

Razvoj alata i strojeva u poljoprivredi uvelike smanjuje potrebu za ljudskim naporom i vrijeme pojedinih aktivnosti. Jedan od primjera je traktorski utovarivač za vreće nosivosti do 1500 kg koje služe za transport rasutih tereta kao što je umjetno gnojivo, žito, itd.



U radu je potrebno:

- napraviti pregled postojećih rješenja traktorskih utovarivača za tzv. „jumbo“ vreće,
- razraditi konstrukciju utovarivača vreća tako da se zadovolje sljedeći parametri:
  - maksimalna udaljenost dizanja 4 m,
  - maksimalna nosivost kod maksimalne udaljenosti dizanja 800 kg,
  - mogućnost rotacije oko vertikalne osi za 180°,
- izračunati naprezanja u kritičnim elementima konstrukcije,
- izraditi tehničku dokumentaciju i prikazati konačno 3D CAD rješenje.

Detalji konstrukcije i tehničke dokumentacije će biti definirani tijekom izrade rada. U radu je potrebno navesti korištenu literaturu i eventualno dobivenu pomoć.

Zadatak zadan:

30. 11. 2024.

Datum predaje rada:

- rok: 20. i 21. 2. 2025.
- rok: 10. i 11. 7. 2025.
- rok: 18. i 19. 9. 2025.

Predviđeni datumi obrane:

- rok: 24. 2. – 28. 2. 2025.
- rok: 15. 7. – 18. 7. 2025
- rok: 22. 9. – 26. 9. 2025.

Zadatak zadao:

Izv. prof. dr. sc. Momir Sjerić

M. Sjerić

Predsjednik Povjerenstva:

Prof. dr. sc. Vladimir Soldo

V. Soldo

## SADRŽAJ

1. UVOD	1
2. PREGLED POSTOJEĆIHUTOVARIVAČA	2
3. ZAHTJEVI KONSTRUKCIJE	5
3.1. Opterećenja.....	5
3.2. Odabir materijala i profila .....	5
3.3. Sigurnost.....	5
3.4. Dimenzije utovarivača .....	6
4. GENERIRANJE KONCEPATA PROIZVODA	7
4.1. Glavne potrebe i tehnička specifikacija .....	7
4.2. Dekompozicija problema u jednostavnije potprobleme.....	7
4.3. Generiranje i integracija parcijalnih rješenja.....	9
4.4. Koncepti i odabir koncepta .....	11
4.4.1. Koncept 1.....	11
4.4.2. Koncept 2.....	12
4.4.3. Koncept 3.....	13
5. PRORAČUN UTOVARIVAČA	15
5.1. Kritičan položaj i konstrukcijski zahtjevi .....	15
5.2. Zatik držača kuke.....	16
5.2.1. Proračun sila .....	16
5.2.2. Proračun čvrstoće.....	16
5.3. Držač kuke.....	17
5.3.1. Proračun sila .....	17
5.3.2. Proračun čvrstoće.....	18
5.3.3. Provjera zavara.....	18
5.4. Proračun produljene ruke utovarivača .....	20
5.4.1. Proračun sila .....	20
5.4.2. Proračun čvrstoće na kritičnom presjeku .....	21
5.5. Svornjak na osloncu L1 .....	24
5.5.1. Proračun sila .....	24
5.5.2. Proračun čvrstoće.....	24
5.6. Svornjak oslonca L2 .....	25
5.6.1. Proračun sila .....	25
5.6.2. Proračun čvrstoće.....	26
5.7. Ruka utovarivača .....	27
5.7.1. Proračun sila .....	27
5.7.2. Proračun čvrstoće.....	28
5.8. Svornjak oslonca S.....	31
5.8.1. Proračun sila .....	31
5.8.2. Proračun čvrstoće .....	32
5.9. Zavareni rotacijski podskop .....	33
5.9.1. Proračun sila .....	33
5.9.2. Proračun ležaja.....	35
5.10. Kostur utovarivača .....	36
5.10.1. Proračun sila .....	36
5.10.2. Proračun čvrstoće .....	37

---

5.10.3. Proračun zavara.....	39
5.11. Mehanička veza utovarivača sa traktorom .....	40
5.11.1 Proračun sila .....	40
5.11.2.Proračun zavara.....	41
6. ODABIR HIDRAULIČKIH KOMPONENTIUTOVARIVAČA	44
6.1. Odabir hidrauličkog rotacijskog aktuatora.....	44
6.2. Odabir hidrauličkog cilindra podizanja.....	46
6.3.Odabir hidrauličkog cilindra produljenja ruke .....	47
6.4. Odabir razdjelnika za hidrauličko ulje .....	48
7. ZAKLJUČAK	49
8. LITERATURA	50
9. PRILOZI	51

## POPIS SLIKA

Slika 1. Metalbert Big Bag podizač [4] .....	2
Slika 2. DL Argo Big Bag podizač [5] .....	3
Slika 3. Agrimen Big Bag podizač [6] .....	4
Slika 4. Primjer vreće tereta utovarivača [15].....	6
Slika 5. Funkcijska dekompozicija utovarivača .....	8
Slika 6. Koncept 1 .....	11
Slika 7. Koncept 2 .....	12
Slika 8. Koncept 3 .....	13
Slika 9. Kritičan položaj utovarivača .....	15
Slika 10. Dimenzije i sile zatika držača kuke .....	16
Slika 11. Opis oznaka za proračun čvrstoće zatika [2].....	16
Slika 12. Sila vilice na držaču kuke .....	18
Slika 13. Kritičan presjek zavara sa opterećenjem.....	19
Slika 14. Naprezanja u kritičnom zavaru držača kuke .....	20
Slika 15. Produljena ruka pojednostavljena kao greda.....	21
Slika 16. Podjela opterećenja po duljini grede.....	22
Slika 17. Kritičan presjek produljenje glave i opterećenja .....	22
Slika 18. Djelovanje opterećenja po kritičnom presjeku .....	23
Slika 19. Sile reakcije koje djeluju na svornjak oslonca L1 .....	24
Slika 20. Iznosi opterećenja duž duljine svornjaka oslonca L1 .....	24
Slika 21. Sile reakcije koje djeluju na svornjak oslonca L2 .....	25
Slika 22. Iznosi opterećenja duž duljine svornjaka oslonca L2 .....	26
Slika 23. Položaj sila na ruci utovarivača .....	27
Slika 24. Iznosi opterećenja duž ruke utovarivača .....	28
Slika 25. Položaj težišta elementa kritičnog presjeka ruke utovarivača .....	29
Slika 26. Djelovanje opterećenja na kritičan presjek ruke utovarivača.....	30
Slika 27. Iznosi naprezanja duž kritičnog presjeka ruke utovarivača .....	31
Slika 28. Sile koje djeluju na svornjak oslonca S .....	31
Slika 29. Iznosi opterećenja po duljini svornjaka oslonca S.....	32
Slika 30. Rotacijski podsklop.....	33
Slika 31. Položaji sila na rotacijskom podsklopu.....	34
Slika 32. Dimenzije ležaja [7] .....	35
Slika 33. Položaj sila na kosturu utovarivača .....	36
Slika 34. Iznosi opterećenja duž kostura utovarivača .....	37
Slika 35. Opterećenja na kritičnom presjeku kostura utovarivača .....	38
Slika 36. Iznosi naprezanja duž kritičnog presjeka kostura utovarivača .....	38
Slika 37. Kritičan zavar kostura utovarivača i sile koje djeluju na njega .....	39
Slika 38. Opterećenja na kritičnom zavaru kostura utovarivača .....	39
Slika 39. Iznosi naprezanja duž presjeka kritičnog zavara kostura utovarivača .....	40
Slika 40. Položaj sila pri kritičnom položaju utovarivača .....	40
Slika 41. Utovarivač pojednostavljen principom klackalice .....	41
Slika 42. Položaj sile u obziru na zavar .....	41
Slika 43. Opterećenja na kritičnom zavaru vilice spoja traktora i utovarivača.....	42
Slika 44. Iznosi naprezanja duž presjeka kritičnog zavara vilice.....	43
Slika 45. Potrebna maksimalna duljina hidrauličnog cilindra .....	46
Slika 46. Dimenzije hidrauličkog cilindra [13].....	47
Slika 47. Dimenzije aksijalnog hidrauličkog cilindra [12] .....	48



**POPIS TABLICA**

Tablica 1. Tehničke specifikacije utovarivača za generiranje koncepata.....	7
Tablica 2. Morfološka tablica utovarivača .....	9
Tablica 3. Tehnički podatci ležaja [7] .....	35
Tablica 4. Tehničke specifikacije hidrauličkog rotacijskog aktuatora [8].....	45
Tablica 5. Tehničke specifikacije hidrauličkog cilindra [12] .....	46
Tablica 6. Tehničke specifikacije razdjelnika ulja [14].....	48

## POPIS TEHNIČKE DOKUMENTACIJE

UTV-082025	Bočna potporna noga
UTV-012025	Držač kuke
UTV-072025	Kostur utovarivača
UTV-032025	Oslonac cilindra
UTV-042025	Oslonac ruke
UTV-062025	Potporna noga
UTV-052025	Produžena ruka
UTV-022025	Ruka utovarivača
UTV-SKLO12025	Sklop utovarivača
UTV-SKL022025	Sklop utovarivača 2

## POPIS OZNAKA

Oznaka	Jedinica	Opis
$F$	$N$	Sila teže tereta od 800 kilograma
$F_v$	$N$	sila reakcije u vilici
$\tau_a$	$N/mm^2$	Posmično naprezanje koje djeluje na zatik/svornjak
$p_u$	$N/mm^2$	Unutarnji površinski tlak na zatiku/svornjaku
$p_v$	$N/mm^2$	Vanjski površinski tlak na zatiku/svornjaku
$\sigma_f$	$N/mm^2$	Savojno naprezanje
$b$	$mm$	Širina kritičnog presjeka
$d$	$mm$	Promjer cilindričnog elementa
$a$	$mm$	Duljina stranice kritičnog kvadratnog presjeka
$S_{potr}$		Potrebna sigurnost
$S$		Minimalna sigurnost u kritičnom presjeku elementa
$p_{dop}$	$N/mm^2$	Dopušteni tlak na zatiku/svornjaku
$\tau_{adop}$	$N/mm^2$	Dopušteno posmično naprezanje u zatiku/svornjaku
$A$	$mm^2$	Površina presjeka na kojoj djeluje sila
$\sigma_{fdop}$	$N/mm^2$	Dopušteno savojno naprezanje
$A_{proj}$	$mm^2$	Projicirana površina na kojoj utječe posmično naprezanje
$F_v$	$N$	Sila u vilici
$\sigma_v$	$N/mm^2$	Vlačno naprezanje
$\sigma_{dop}$	$N/mm^2$	Dopušteno naprezanje elementa
$I_y$	$mm^4$	Moment tromosti elementa
$M_f$	$Nmm$	Maksimalni savojni moment elementa(kritičnog presjeka)
$W_y$	$mm^3$	Moment otpora elementa
$e$	$mm$	Maksimalna udaljenost od y-osi u kritičnom presjeku
$\sigma_t$	$N/mm^2$	Tlačno naprezanje
$A_{zav}$	$mm^2$	Površina zavara
$\sigma_{ekv}$	$N/mm^2$	Ekvivalentno naprezanje
$F_{L1}$	$N$	Sila reakcije u osloncu L1
$F_{L2}$	$N$	Sila reakcije u osloncu L2
$\tau$	$N/mm^2$	Posmično naprezanje koje djeluje na element
$a_u$	$mm$	Unutarnja dimenzija kvadratnog kritičnog presjeka
$F_{SH}$	$N$	Horizontalna komponentna sile reakcije u osloncu S

$F_{SV}$	N	Vertikalna komponenta sile reakcije u osloncu S
$F_s$	N	Sila reakcije u osloncu S
$F_{L4x}$	N	Aksijalna komponenta sile reakcije u ležaju L4
$F_{L4z}$	N	Radijalna komponentna sile reakcije u ležaju L5
$C_0$	kN	
$F_{NH}$	N	Horizontalna komponentna sile reakcije u osloncu N
$F_{NV}$	N	Vertikalna komponentna sile reakcije u osloncu N
$M_r$	Nm	Rotacijski moment
$m$	kg	Masa tereta
$v$	m/s	Brzina kružnog gibanja tereta
$r$	m	Radius rotacije tereta
$\omega$	rad/s	Kutna brzina tereta
$M_{r,potr}$	Nm	Potrebni rotacijski moment
$b_u$	mm	Unutarnja širina kritičnog pravokutnog presjeka
$h_u$	mm	Unutarnja visina kritičnog pravokutnog presjeka
$h$	mm	Visina kritičnog pravokutnog presjeka
$F_h$	N	Sila hidrauličkog cilindra
$F_{L3z}$	N	Radijalna komponenta sile reakcije na ležaj L3
$F_{sp}$	N	Sila reakcije na osloncu spoja traktora i utovarivača
$m_u$	kg	Ukupna masa utovarivača

**SAŽETAK**

Ovaj rad se bazira na konstruiranju utovarivača za velike vreće u poljoprivredi. Proučena su 3 primjera utovarivača na tržištu. Svaki primjer utovarivača je opisan te su rečene njegove prednosti i mane. Nakon analize tržišta uvedeni su zahtjevi konstrukcije gdje su opisane gabaritne mjere vreće tereta, maksimalna masa tereta, kako odabrati materijal, gabaritne mjere utovarivača te kako konstruirati utovarivač da je sigurnost operatora zadovoljena . Nakon uvedenih zahtjeva konstrukcije generirala su se 3 koncepta utovarivača koristeći tehničke razvoja proizvoda kao što su funkcionalna dekompozicija i morfološka tablica. Pomoću funkcionalne dekompozicije odabran su 3 potproblema na koji će se ovaj rad bazirati kod izrade koncepata. Rješenja za potprobleme su napravljena preko morfološke tablice te je svaki način rješenja potproblema objašnjen. Nakon stvaranja 3 koncepata utovarivača odabran je jedan koncept koji se zatim provjerio na čvrstoću. Provjere su se činile na svornjacima, zaticima, kritičnim zavarima te na kritičnim presjecima elemenata utovarivača. Provjeravali su se tlakovi na zaticima i svornjacima te su se kritički presjeci provjeravali na savojno naprezanje, posmično naprezanje te tlačno i vlačno naprezanje, ako su ona opterećivala kritični presjek. Također su odabrani hidraulički cilindri, hidraulički rotacijski aktuator i razdjelnik hidrauličkog ulja čime su određeni svi elementi utovarivača. Na kraju procesa napravljena je sva potrebna tehnička dokumentacija, to jest napravljeni su radionički crteži elemenata utovarivača te sklopni crtež konstrukcije.

Ključne riječi: utovarivač, koncept, provjera čvrstoće, morfološka tablica, funkcionalna dekompozicija, tehnička dokumentacija

## SUMMARY

This paper focuses on the design of a loader for large agricultural bags. Three examples of loaders available on the market were studied, with a detailed description of each, including their advantages and disadvantages. Based on the market analysis, design requirements were defined, covering the overall dimensions of the cargo bag, the maximum load capacity, material selection criteria, the loader's dimensions, and safety considerations for the operator. Following the definition of design requirements, three loader concepts were generated using product development techniques such as functional decomposition and the morphological table. Functional decomposition was used to identify three key subproblems that form the basis of this study. Solutions for these subproblems were generated through the morphological matrix, with each approach explained in detail. After developing the three loader concepts, one was selected for further structural verification. Strength analyses were conducted on pins, bolts, critical welds, and key cross-sections of the loader components. The analyses included pressure distribution on the pins and bolts, as well as bending, shear, compressive, and tensile stress evaluations in critical cross-sections. Additionally, hydraulic components such as hydraulic cylinders, a hydraulic rotary actuator, and a hydraulic oil distributor were selected, completing the definition of all essential loader elements. Finally, all necessary technical documentation was prepared, including workshop drawings of the loader components and an assembly drawing of the structure.

Key words: loader, concept, strength check, morphological table, functional decomposition, technical documentation

## 1. UVOD

Poljoprivreda kao grana gospodarstva zahtijeva učinkovita rješenja za manipulaciju i transport velikih količina materijala. S razvojem mehanizacije, posebnu važnost imaju uređaji za rukovanje velikim vrećama (Big Bag), koje se koriste za skladištenje i transport gnojiva, sjemena, žitarica i drugih poljoprivrednih proizvoda. Ručno rukovanje takvim teretima nije samo neučinkovito, već predstavlja i značajan sigurnosni rizik za radnike, povećavajući mogućnost ozljeda i dugoročnih problema s ergonomijom rada. Jedno od rješenja koje omogućuje sigurno i efikasno podizanje te manipulaciju velikim vrećama su traktorski utovarivači specijalizirani za ovu namjenu. Ovi utovarivači olakšavaju utovar i istovar vreća te smanjuju fizički napor i vrijeme potrebno za rukovanje teretom. Također, omogućuju precizno postavljanje i raspodjelu materijala, što doprinosi učinkovitijem radu i smanjenju otpada. Povećanjem produktivnosti smanjuju se troškovi rada, što ih čini nezaobilaznim alatom u modernoj poljoprivredi. Cilj ovog završnog rada je konstruirati i proračunati vlastiti model utovarivača za poljoprivredne vreće. U radu će biti analizirani postojeći sustavi, definirani glavni konstrukcijski zahtjevi te provedeni relevantni proračuni kako bi se osigurala čvrstoća, stabilnost i funkcionalnost konstrukcije. Kroz proces konstruiranja, posebna pažnja bit će posvećena sigurnosnim aspektima i optimizaciji strukture kako bi se postigla tražena nosivost uz minimalnu masu i jednostavnu proizvodnju. Ovim radom nastoji se pridonijeti razvoju učinkovitijih i ekonomičnijih rješenja u području poljoprivredne mehanizacije te omogućiti bolju prilagodbu takvih sustava specifičnim zahtjevima korisnika.

## 2. PREGLED POSTOJEĆIH UTOVARIVAČA

Istraživanjem postojećih rješenja koja je koriste diljem svijeta dolazi se do nekoliko različitih izvedaba s odgovarajućim prednostima i nedostacima.

Na slici 1. možemo vidjeti primjer Metalbert Big Bag podizača, koji se koristi za podizanje i transport velikih vreća u poljoprivredi. Ima mogućnost rotacije ruke utovarivača za 50 stupnjeva pomoću hidrauličnih cilindara i te mogućnost podizanja tereta do 1300 kilograma do visine od čak 5,8 metara. Ovaj model nudi nekoliko prednosti, ali i određenih nedostataka koji mogu utjecati na njegovu upotrebljivost u različitim uvjetima.



**Slika 1. Metalbert Big Bag podizač [4]**

Jedna od prednosti je njegova jednostavna montaža, pošto svaki dio utovarivača radi preko hidrauličkih cilindara pa ga samo treba spojiti s traktorovom pumpom i preko zgloba. Još jedna prednost prikazanog utovarivača je njegova mogućnost vožnje traktora s utovarivačem dok utovarivač nosi teret. To je omogućeno zbog para kotača na koje se prenosi većina tereta. Međutim, postoje i određeni nedostaci ovog modela. Jedan od nedostatka je nemogućnost produženja ruke utovarivača čineći tako stroj težim za skladištenje. Također, zbog para guma utovarivač ima sam po sebi veliku težinu te stoga je potreban traktor jake snage za korištenje.

Osim već navedenog rješenja, postoji i varijanta utovarivača kao što je model DL Agro Big Bag podizač. Ovaj model ima mogućnost rotacije od 160 stupnjeva pomoću dva hidraulična cilindra koji rotiraju stup i ruku utovarivača zajedno sa cilindrima. Za razliku od prijašnjeg primjera DL Argo Big Bag podizač nema gume, nego se naslanja na dvije bočne noge čiji se kut dodira s tlom, a time i visina konstrukcije, određuje pomoću hidrauličkih cilindara. Ima mogućnost dizanja tereta od 1000 kilograma na visinu od 6,7 metara.



**Slika 2. DL Argo Big Bag podizač [5]**

Jedna od glavnih prednosti ovog modela je njegov omjer težine utovarivača i težine tereta kojeg može dići. Već smo saznali da može dići teret do 1000 kilograma, no njegova težina je 1150 kilograma čineći ga tako prilično teškim s obzirom na sposobnost podizanja tereta. Osim toga, ovaj utovarivač ima mogućnost produljenja ruke, čineći ga tako lakšim za skladištenje i lakšim za korištenje. Također, posjeduje hidraulički sustav koji omogućuje precizno podizanje i spuštanje vreća, čime se povećava sigurnost i kontrola pri rukovanju teretom. Uz to, dvije bočne noge omogućuju veću stabilnost tijekom rada, smanjujući rizik od prevrtanja ili gubitka tereta. Međutim, ovaj model ima i određene nedostatke. Jedan od nedostataka je nemogućnost vožnje traktora s utovarivačem dok utovarivač drži teret. Pošto se pri dizanju tereta, utovarivač naslanja na bočne noge, a ne na kotače kao u prošlom primjeru, prije opisana radnja nije moguća.

Na slici 3. nalazi se Agrimen Big Bag podizač. Agrimen Big Bag podizač je utovarivač mogućnosti produljenja ruke te mogućnosti podizanja tereta do 600 kilograma pri maksimalno produženoj ruci. Utovarivač prenosi težinu tereta na jednu središnju nogu koja se oslanja na tlo.



**Slika 3. Agrimen Big Bag podizač [6]**

Jedna od najvećih razlika ovog utovarivača od prijašnjih dvoje je njegova nemogućnost rotacije te mu je to jedan od većih nedostataka jer ovaj utovarivač ima samo opciju pomicanja tereta vertikalno, pošto nije moguća vožnja tereta na utovarivaču zbog nedostatka kotača kao u prvom primjeru. No, uspoređujući ih s druga dva primjera, Agrimen Big Bag podizač ima najbolji omjer vlastite mase i maksimalne mase koju može podizati. Pri maksimalno produženom rukom, utovarivač može podići teret mase 600 kilograma, dok je masa utovarivača samo 300 kilograma.

### 3. ZAHTJEVI KONSTRUKCIJE

U ovom poglavlju su navedena sva ograničenja i pravila koja moraju biti poštovana pri procesu konstruiranja utovarivača za velike vreće u poljoprivredi koji se spajaju na kraj traktora.

#### 3.1. Opterećenja

Sukladno članku 10. Pravilnika o tehničkim uvjetima vozila u prometu na cestama Maksimalna dopuštena masa vozila, to jest traktora, sa svim dodatcima je 40 tona. Maksimalna težina tereta je 800 kg. Masa utovarivača će nam biti poznata nakon konstrukcijske razrade.

#### 3.2. Odabir materijala i profila

Pri konstrukciji utovarivača, izbor materijala se primarno odabire temeljem njegove čvrstoće te otpornosti na vanjske utjecaje. Radi ekstremnijih uvjeta koji mogu biti u poljoprivredi te zbog očekivane dugotrajnosti poljoprivrednih strojeva, utovarivač će biti napravljen većinski od legura čelika te će dio konstrukcije biti premazan premazom za korozivnu zaštitu. Time ćemo zaštiti materijal od ekstremnijih uvjeta kao što je kiša, velika vlaga te visoke temperature.

Konstrukcija utovarivača biti će uglavnom izvedena pomoću cijevi kvadratnog profila, smanjujući tako masu konstrukcije i olakšavajući manipulaciju. Profili će većinski biti pravokutnog oblika zbog jednostavnije proizvodnje i time smanjenja troška proizvodnje te zbog dobre nosivosti profila.

#### 3.3. Sigurnost

Prioritet pri konstruiranju mora biti sigurnost operatora utovarivača. Ključno je osigurati da u slučaju gubitka hidrauličke sile, ruka utovarivača ne padne na operatora. Korištenje sustava upravljanja utovarivača te spajanje sustava utovarivača s pumpom traktora mora biti što jasnija i jednostavnija kako bi se sprječila greška operatora pri spajanju istih. Također pri proračunu konstrukcije koristiti će se minimalni faktor sigurnosti iznosa 2. Time uzimamo u obzir neočekivane situacije koje bi mogle dodatno opteretiti konstrukciju.

### 3.4. Dimenzije utovarivača

Na temelju istraživanja utovarivača na tržištu i istraživanjem traktora na tržištu, donje mjesto spajanja utovarivača i traktora mehaničkim načinom će se nalaziti 0,2 metara iznad tla, to jest utovarivač će biti konstruiran za traktore čija je mehanička veza na 0,2 metara od tla. Također iz zadatka završnog zadatka znamo da će nam maksimalna visina konstrukcije biti iznad 4 metra. Minimalna visina utovarivača će biti ispod 3,5 metra kako bi se utovarivač mogao uskladištiti u prostorije namijenjene za ulaz i izlaz traktora. Prolazi tih prostorija su od 3 do 4 metra. Minimalna visina kuke utovarivača mora biti dovoljno niska da bi se kuka mogla prikvačiti za poljoprivrednu vreću. Na temelju istraživanja vreća za poljoprivredni teret na tržištu, zaključeno je da je najmanja moguća visina za vreće od minimalnog nosivog tereta od 800 kilograma 1,2 metra. Radi toga utovarivač će biti konstruiran za jumbo industrijske vreće visine 1,2 metra. Time zaključujemo kako će minimalna visina kuke morati biti 1,2 metra ili manja. Primjer vreće prikazan je na slici 4.



Slika 4. Primjer vreće tereta utovarivača [15]

## 4. GENERIRANJE KONCEPATA PROIZVODA

Generiranje koncepata proizvoda je proces u kojem se razvijaju i oblikuju ideje za novi proizvod, s ciljem da se zadovolje potrebe tržišta, korisnika ili specifičnih tehničkih zahtjeva. Ovaj proces ćemo koristiti kako bi lakše došli do zaključka oko kojih funkcija stroja ćemo se bazirati i kako ćemo napraviti stroj konkurentan tržištu.

### 4.1. Glavne potrebe i tehnička specifikacija

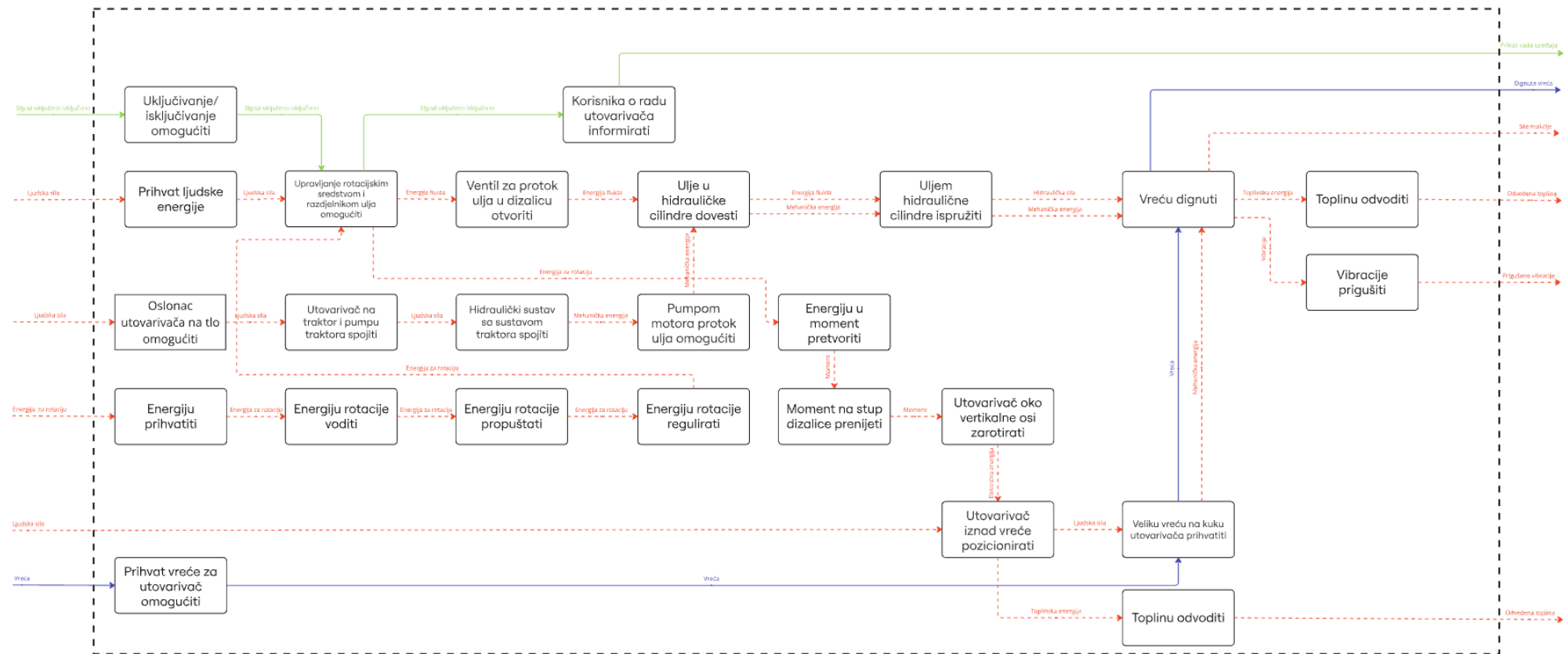
Prvi korak pri generiranju koncepta proizvoda je odrediti cilj razvojnog projekta. Cilj razvojnog projekta je zapravo cilj ovog završnog rada, a to je razvoj utovarivača velikih vreća pogonjen hidrauličkom i/ili električnom energijom traktora u poljoprivrednoj grani. Glavne potrebe korisnika ovog uređaja su da utovarivač sigurno diže teret, da se teret jednostavno spaja s kukom te da je korištenje utovarivača jednostavno i intuitivno. Na tablici 1. nalaze se tehničke specifikacije utovarivača.

**Tablica 1. Tehničke specifikacije utovarivača za generiranje koncepata**

Maksimalna visina dizanja tereta	4 m
Maksimalna težina tereta u najkritičnijem slučaju	800 kg
Dimenzije vreće tereta	90 cm x 90 cm x 120 cm
Masa utovarivača	Manja od 3 t
Brzina rotacije ruke	9 ° u sekundi
Visina mehaničkog spoja s traktorom	50 cm
Maksimalni tlak koji pumpa traktora može proizvesti	200 bara

### 4.2. Dekompozicija problema u jednostavnije potprobleme

Postoji više načina dekompozicije problema u jednostavnije potprobleme kao što su dekompozicija aktivnosti korisnika pri korištenju proizvoda i dekompozicija glavnih potreba korisnika. U ovom rad dekompozicija problema u jednostavnije potprobleme će se napraviti pomoću metode funkcionske dekompozicije. Funkcijskom dekompozicijom opisujemo funkcionske elemente bez da impliciramo specifične radne principe kojima će se funkcija realizirati. Na slici 5 prikazana funkcionska dekompozicija utovarivača.



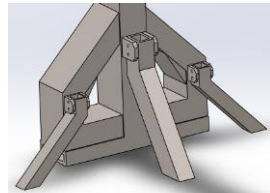
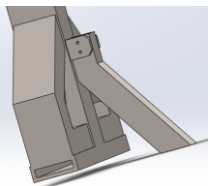
Slika 5. Funkcijska dekompozicija utovarivača

Za daljnju razradu koncepata potrebno je odabrati proizvoljnu količinu potproblema oko kojih ćemo se bazirati u dalnjoj razradi. Istraživanjem tržišta utovarivača u poglavljima 2 ovog rada i vlastitom odlukom odlučeno je da ćemo se dalje bazirati sa tri potproblema iz funkcijalne dekompozicije na slici 5. Ta tri potproblema su potproblem „Dizalicu oko vertikalne osi zarotirati“, potproblem „Vreću dignuti“ i potproblem „Oslonac utovarivača na tlo omogućiti“.

#### 4.3. Generiranje i integracija parcijalnih rješenja

Cilj ovog poglavlja je naći što više mogućih rješenja za spomenuta tri potproblema iz funkcijalne dekompozicije utovarivača. Integraciju parcijalnih rješenja ćemo napraviti pomoću morfološke tablice s ciljem da organiziramo sva rješenja potproblema i da lakše dođemo do mogućih koncepata koji rješavaju te potprobleme. Tablica 2 predstavlja morfološku tablicu sa mogućim rješenjima u slikovitom obliku:

**Tablica 2. Morfološka tablica utovarivača**

Funkcije	Karakteristike	Parcijalna rješenja		
Utovarivač oko vertikalne osi zarotirati	Vrsta i način djelovanja	Hidraulički rotacijski aktuator 	Hidraulički cilindar 	Elektromotor 
Vreću dignuti	Vrsta i način djelovanja	Ruka utovarivača s mogućnosti produljenja 	Fiksna ruka utovarivača 	
Oslonac utovarivača na tlo omogućiti	Vrsta i način djelovanja	Oslonac na par guma 	Oslonac na 3 noge 	Oslonac na središnju nogu 

Za potproblem „Utovarivač oko vertikalne osi zarotirati“ imamo 3 moguća rješenja. Prvo rješenje je hidraulički rotacijski aktuator. Hidraulički rotacijski aktuator je vratilo povezano za kosi zupčanik koji je u dodiru za unutrašnjim ozubljenjem koje se nalazi u kućištu aktuatora. Sa obje strane zupčanika nalazi se prostor za te svaki ima rupu za ulaz fluida. Pumpa traktora vodi visokotlačni fluid u jednu od prostorija kućišta. Potisna hidraulična sila gura zupčanik koji se zbog translatorynog gibanja i rotira te tako rotira ostatak konstrukcije. Hidraulički rotacijski aktuator je jednostavniji način izvedbe zbog svog malog volumena, no nedostatak mu je potreba za instalacijom spojke između aktuatora i konstrukcije. Drugo rješenje je hidraulički cilindar koji korištenjem hidrauličke sile fluida gura klip cilindra i time čini translatoryno gibanje klipa. Koristeći ga za rotaciju konstrukcije za 180 stupnjeva, trebali bi imati horizontalni cilindar i mehanizam koji pretvara translatoryno gibanje u rotacijsko, čineći ga tako malo komplikiranijom, no jeftinijom izvedbom uz nedostatak težeg održavanja podmazivosti cilindra pošto su podvrgnuti vanjskim uvjetima. Treći potproblem je elektromotor koji električnom energijom čini okretni moment rotacije. Prilično je jednostavno rješenje sa malim potrebnim volumenom za izvedbu, no pošto se nalazimo u poljoprivrednoj grani, izvor električne energije bi mogao biti problem.

Za potproblem „Vreću dignuti“ imamo spomenuta 2 moguća rješenja. Prvo rješenje „Fiksna ruka utovarivača“. Pri tom rješenju, konstrukcija ima manje dijelova te je jednostavnija, ali manje upravljaljivosti. Rješenje „Ruka utovarivača s mogućnosti produljenja“ rješava problem manje upravljaljivosti, ali uz cijenu komplikiranije i skuplje izvedbe.

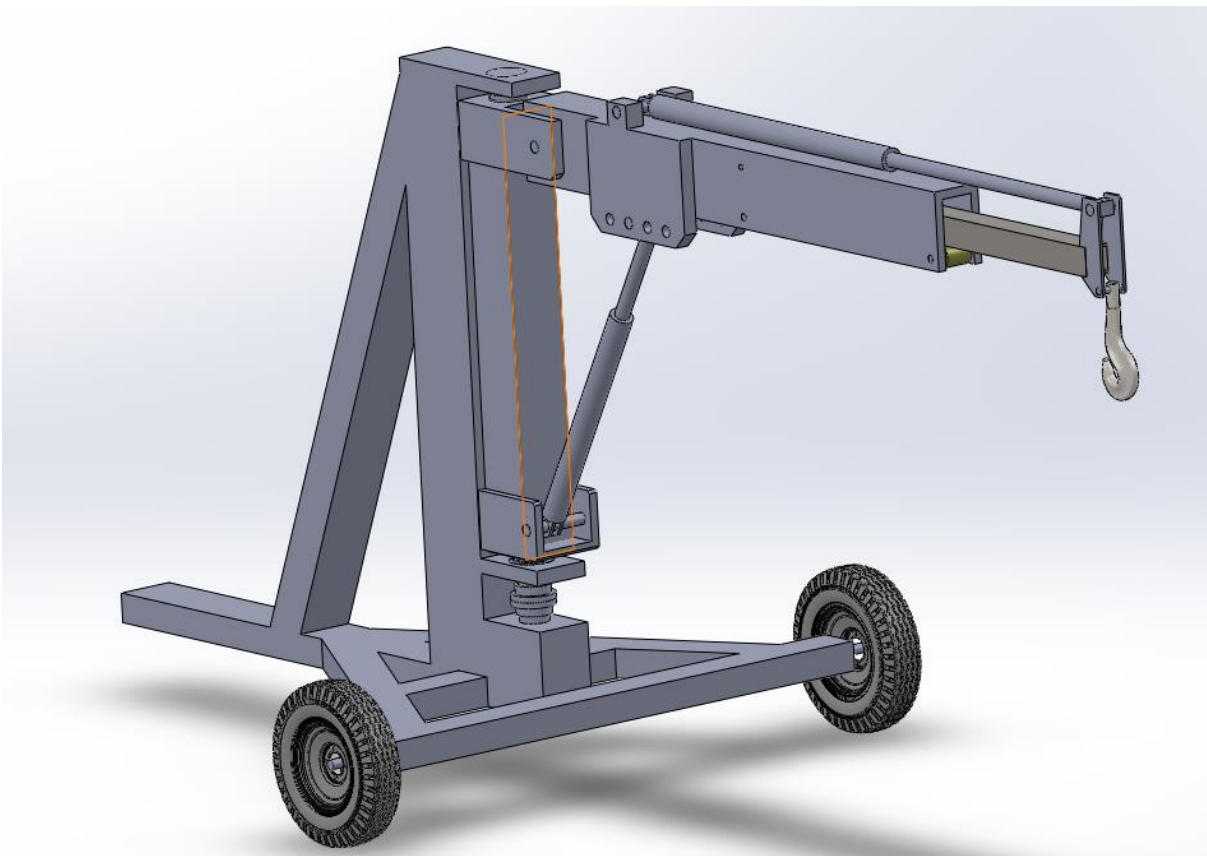
Za potproblem „Oslonac utovarivača na tlo omogućiti“ spominjemo 3 rješenja. Prvo rješenje je konstruiranje konstrukcije sa idejom oslanjanja na tlo preko guma. Takvo rješenje daje sposobnost konstrukciji da ima gibanje s traktorom dok imamo ovješen teret, ali također konstrukciju čini dimenzijski većom, težom i skupljom. Drugo rješenje je jedna središnja nogu sa mogućnosti demontaže. Takvo rješenje je dimenzijski optimalnije i jeftinije, no manje stabilnosti i sa nemogućnosti vožnje dok je na utovarivač ovješen teret. Treće rješenje je slično drugom, no komplikiranije. Uvođenjem troje nogu za oslanjanje konstrukciju činimo stabilnijom, ali dimenzijski većom, težom i skupljom.

Nakon analize rješenja određenim potproblemima imamo dovoljno podataka da napravimo sljedeći korak. Sljedeći korak je određivanje 3 koncepta konstrukcije i odabir subjektivno najboljeg koncepta za konstrukcijsku razradu.

## 4.4.Koncepti i odabir koncepta

### 4.4.1. Koncept 1

Koncept 1 je utovarivač oslonjen na tlo pomoću dviju guma. Ima sposobnost produljivanja ruke koje je omogućeno hidrauličkim cilindrom. Drugi hidraulički cilindar služi za podizanje i spuštanje ruke utovarivača, pa time i tereta. Rotacijsko gibanje ruke omogućeno je elektromotorom koji se nalazi na dnu konstrukcije i koji je spojen spojkom sa stupom, a time i rukom utovarivača.

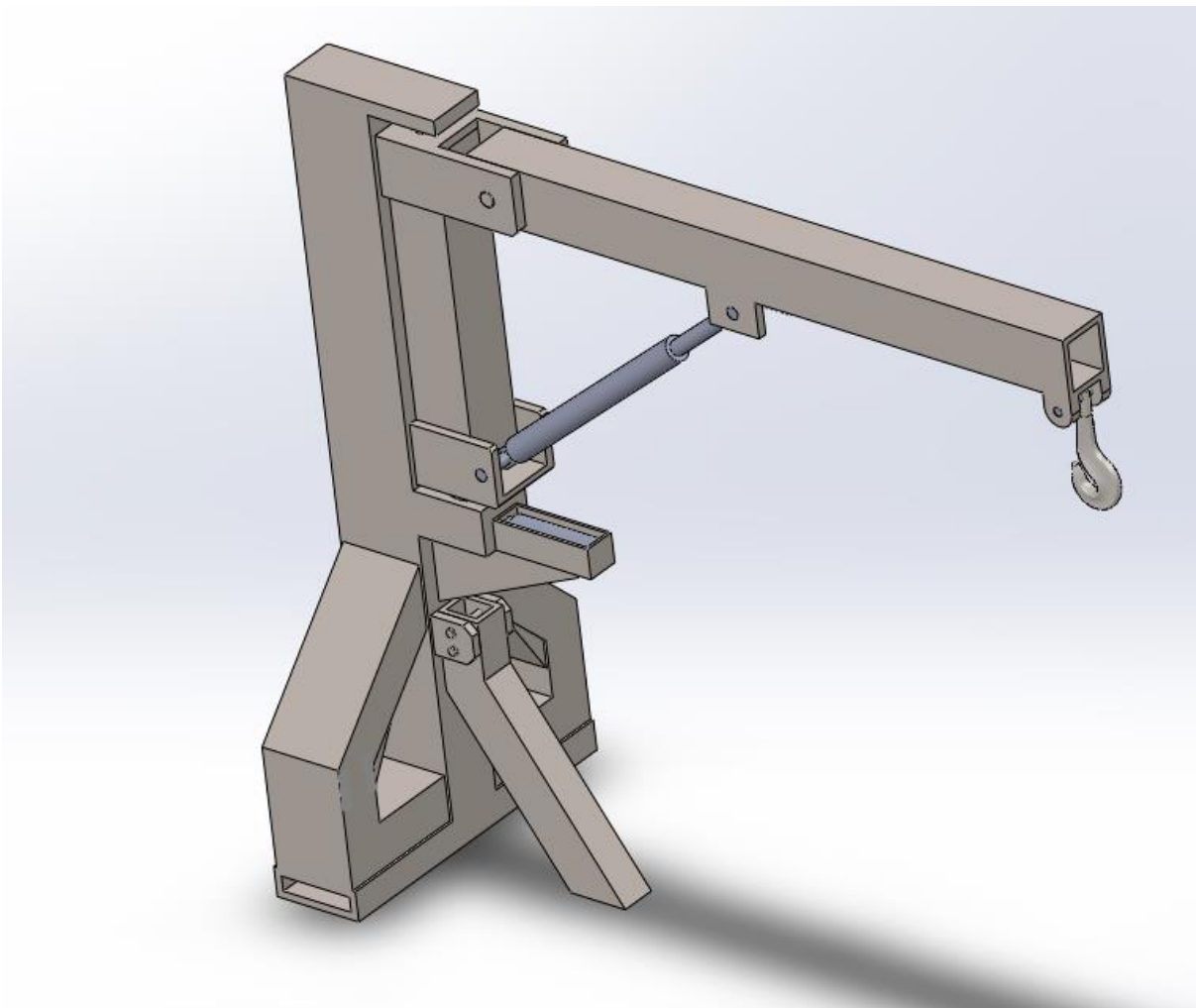


Slika 6. Koncept 1

Najveća prednost ovog koncepta je njegova visoka upravljivost i mobilnost. Zbog oslanjanja na gume, može se teret nositi na utovarivaču i voziti sa traktorom. Mogućnost produljenja ruke omogućava preciznije postavljanje tereta na željeno mjesto te lakše pozicioniranje kuke iznad tereta. Elektromotor omogućava snažnu i brzu rotaciju ruke, no elektromotor je i najveći nedostatak ovog koncepta. Pošto je elektromotor pogonjen električnom energijom, utovarivač bi se morao spajati ili na vanjski izvor električne energije ili na akumulator traktora. Pošto se utovarivač mora spojiti i na pumpu traktora, montaža ovog koncepta postaje prilično komplikiran proces. Također jedna od manja ovog koncepta su i velike gabaritne mjere utovarivača zbog guma koje prenose težinu na tlo.

#### 4.4.2. Koncept 2

Drugi koncept je utovarivač oslonjen na tlo pomoću jedne središnje noge koja je zaticima povezana na konstrukciju. Ruka nema mogućnost produljenja, čineći tako udaljenost tereta od kostura fiksnom. Podizanje tereta u vis omogućeno je hidrauličkim cilindrom koji translatornim kretanjem klipa gura ruku i podiže teret. Također rotacija oko vertikalne osi omogućena je horizontalno postavljenim hidrauličkim cilindrom koji translatornim gibanjem klipa čini rotaciju stupa pomoću zubne letve i zupčanika. Rotacijom stupa dolazi do rotacije ruke i time pomakom tereta na ruci.



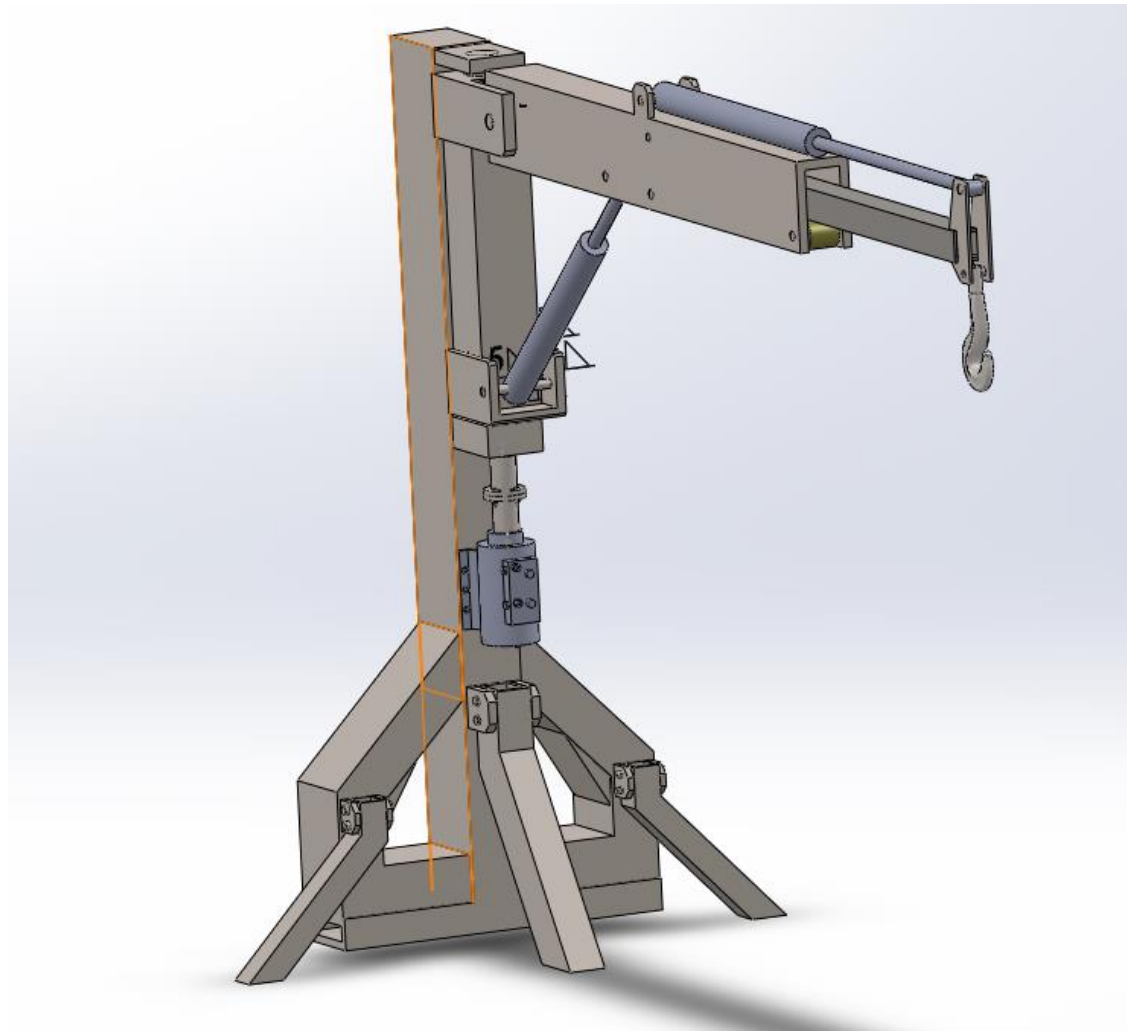
Slika 7. Koncept 2

Najveća prednost ovog koncepta je njegova jednostavna izvedba. Time što ruka nema mogućnost produljenja smanjujemo količinu dijelova za montiranje, no gubimo lakšu mogućnost pozicioniranja kuke iznad vreće i manipuliranje teretom sa utovarivačem. Korištenjem jedne središnje noge umjesto guma, ovaj utovarivač postaje maseno lakši te dimenzijski manji. No, oslanjanjem na nogu utovarivač gubi mogućnost vožnje traktora sa tereta ovješenim na utovarivaču. Također, samo jedna noga za oslanjanje na tlo čini ovaj

utovarivač kritičan na prevrtanje kada je ruka zarotirana za 90 stupnjeva. Horizontalni hidraulički cilindar svojim produljivanjem i skraćivanjem omogućuju rotaciju stupa pa time i ruke utovarivača. Ova izvedba za rotaciju je komplikiranija nego ostale zbog mehanizma koji pretvara translatorno gibanje u rotacijsko, to jest zbog zubne letve i zupčanika.

#### 4.4.3. Koncept 3

Koncept 3 je utovarivač koji je oslonjen na tlo pomoću jedne središnje i dvije bočne noge koji su pomoću dva zatika pričvršćeni na konstrukciju. Rotacija stupa, a time i ruke utovarivača ostvarena je hidrauličkim rotacijskim aktuatorom koji je vijčano povezan na kostur utovarivača, a preko spojke prenosi okretni moment. Ruka utovarivača ovog koncepta ima mogućnost aksijalnog produljenja koje je omogućeno pomoću hidrauličkog cilindra koji je zaticima povezan na držač kuke i fiksni dio ruke. Drugi hidraulički cilindar u konstrukciji služi za podizanje i spuštanje tereta.



Slika 8. Koncept 3

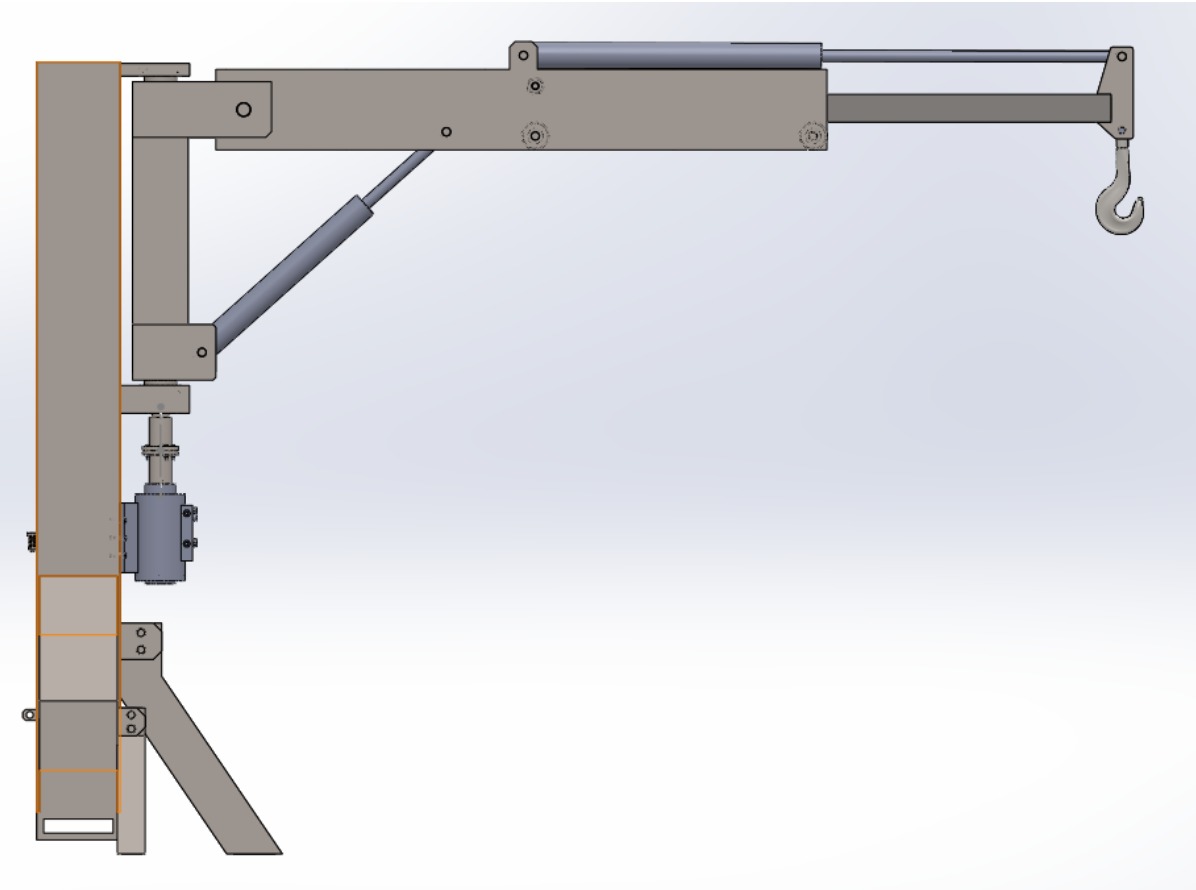
Najveća prednost ovog koncepta je njegova stabilnost uz male dimenzije. Dvije bočne potporne noge osiguravaju utovarivač od prevrtanja pri rotaciji ruke za 90 stupnjeva, dok središnja noga daje najveći oslonac kad je ruka u neutralnom položaju. Za razliku od konstrukcije s gumama, noge zahtijevaju jednostavniju konstrukciju kostura čineći tako utovarivač jednostavnije izvedbe i manje dimenzije. No, oslanjanjem na noge, koncept 3 nema mogućnost vožnje traktora sa utovarivačem na kojem visi teret. Hidraulički rotacijski aktuator daje mogućnosti elektromotora, no bez potrebe za električnom energijom, čineći tako cijelu konstrukcijom pogonjenu pumpom traktora. Za razliku od para hidraulički cilindara kao sredstva za rotaciju, hidraulički rotacijski aktuator kao rješenje dimensijski je manji te mu je montaža jednostavnija. Najveći nedostatak ovog koncepta je cijena montažnih dijelova, iako nije velika cjenovna razlika u usporedbi sa drugim konceptima.

Nakon analize svih triju koncepata, odabrani koncept za izradu je koncept 3, to jest utovarivač sa produljenom rukom, oslanjanjem na tlo preko triju nogu te hidrauličkim rotacijskim aktuatorom zbog svoje visoke mobilnosti, stabilnosti, malih dimenzija i dobrom upravljivosti ovješenog tereta.

## 5. PRORAČUNUTOVARIVAČA

### 5.1. Kritičan položaj i konstrukcijski zahtjevi

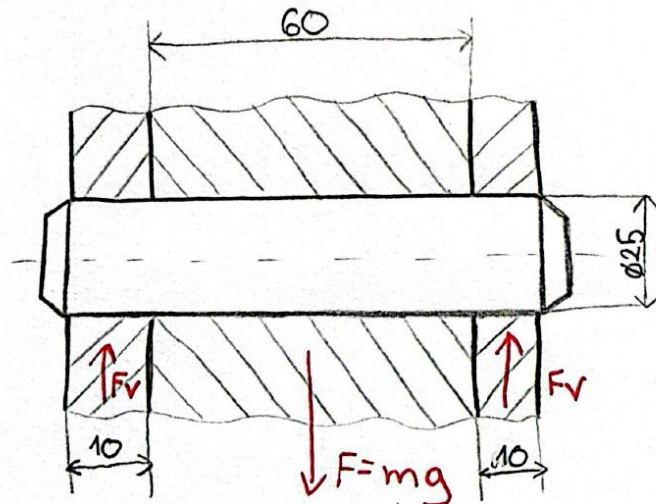
Najkritičnija pozicija utovarivača je kada je ruka utovarivača produljena do kraja i nalazi se usporedno s tlom. Time dobivamo najveći moment savijanja u obziru na konstrukciju. Pozicija hidrauličkog cilindra je pod kutom od 45 stupnjeva. Uvjet za zadovoljenu konstrukciju ćemo ispunjavati pomoću određene potrebne sigurnosti koja će iznositi  $S_{potr} = 2$ .



Slika 9. Kritičan položaj utovarivača

## 5.2. Zatik držača kuke

### 5.2.1. Proračun sile



Slika 10. Dimenzije i sile zatika držača kuke

Na zatik držača užeta djeluje sila težine tereta od 800 kilograma i sila vilice koja iznosi:

$$F_v = \frac{800 * 9,81}{2} \quad (1.1)$$

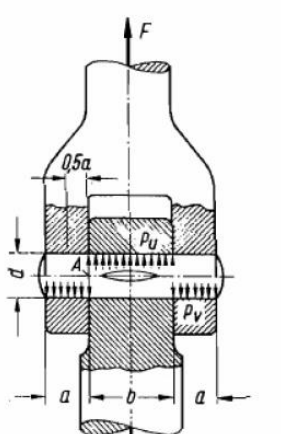
$$F_v = 3924 \text{ N} \quad (1.2)$$

$F = m * g$ =sila težine tereta od 800 kilograma

$F_v$ =sila reakcije u vilici

### 5.2.2. Proračun čvrstoće

Opis oznaka koje ćemo računati u ovom poglavlju nalazi se na slici 11:



Slika 152. Zglobni zatik ili svornjak

Tlakovi

$$p_v = \frac{F}{2a \cdot d} \quad (95)$$

$$p_u = \frac{F}{b \cdot d} \quad (96)$$

$$\text{naprezanje na savijanje } \sigma_f = \frac{0,5 F \cdot 0,5 a}{0,1 d^3} \quad (97)$$

$$\text{naprezanje na odrez } \tau_a = \frac{F}{2A} \quad (98)$$

$p$  u  $\text{N/mm}^2$  površinski tlak na zatiku i dijelovima u spoju,

$\sigma_f$  u  $\text{N/mm}^2$  naprezanje na savijanje u presjeku zatika ili svornjaka,

$\tau_a$  u  $\text{N/mm}^2$  naprezanje na odrez u presjeku zatika ili svornjaka,

$F$  u  $\text{N}$  pogonska sila,

$d$  u  $\text{mm}$  promjer zatika ili svornjaka,

$A$  u  $\text{mm}^2$  presjek zatika ili svornjaka,

$a, b$  u  $\text{mm}$  širina dijelova u spoju.

Slika 11. Opis oznaka za proračun čvrstoće zatika [2]

$$\tau_a = \frac{F}{2*A} = \frac{800*9,81}{2*\frac{25^2\pi}{4}} \quad (1.3)$$

$$\tau_a = 8 \text{ N/mm}^2 \quad (1.4)$$

$$p_u = \frac{F}{b*d} = \frac{800*9,81}{60*25} = 5,232 \text{ N/mm}^2 \quad (1.5)$$

$$p_v = \frac{F}{2a*d} = \frac{800*9,81}{2*10*25} = 15,7 \text{ N/mm}^2 \quad (1.6)$$

$$\sigma_f = \frac{0,5*F*0,5*a}{0,1*d^3} = \frac{0,5*800*9,81*0,5*10}{0,1*25^3} \quad (1.7)$$

$$\sigma_f = 12,56 \text{ N/mm}^2 \quad (1.8)$$

Odabrani materijal zatika je sivi lijev (SL) [2]:

$$p_u = 5,232 \text{ N/mm}^2 \leq p_{dop} = 32 \text{ N/mm}^2 \quad (1.9)$$

$$p_v = 15,7 \text{ N/mm}^2 \leq p_{dop} = 32 \text{ N/mm}^2 \quad (1.10)$$

$$\tau_a = 8 \text{ N/mm}^2 \leq \tau_{adop} = 74 \text{ N/mm}^2 \quad (1.11)$$

$$\sigma_f = 12,5568 \text{ N/mm}^2 \leq \sigma_{fdop} = 134 \text{ N/mm}^2 \quad (1.12)$$

Iz formula (1.9) do (1.12) možemo zaključiti da je zatik najkritičniji na unutarnji pritisak:

$$S = \frac{p_{dop}}{p_v} = \frac{32}{15,7} \quad (1.13)$$

$$S = 2,03 \geq S_{potr} = 2 \quad (1.14)$$

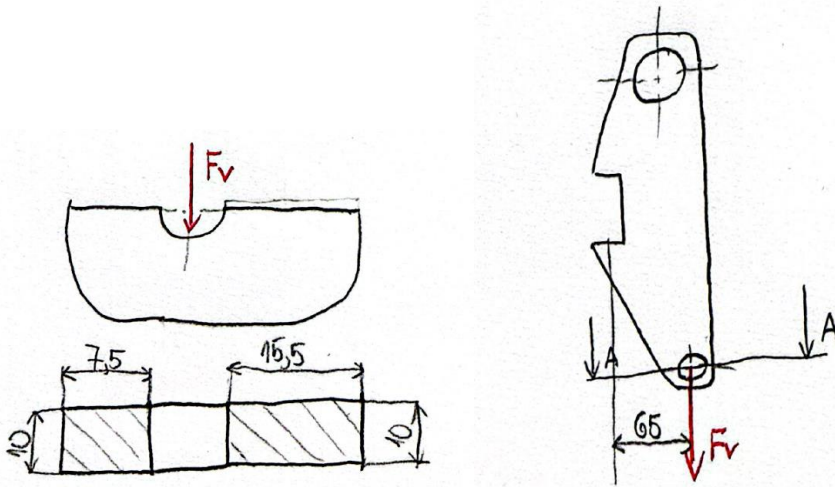
Zatik zadovoljava.

### 5.3. Držač kuke

Držač kuke je zavaren za konstrukciju stoga ćemo i zavar provjeriti na čvrstoću. Na držač kuke djeluje sila na vilici (1.2) i sila koju čini aksijalni hidraulički element.

#### 5.3.1. Proračun sila

Na držač kuke za ovaj dio proračuna djeluje zatik silom vilice čiji iznos možemo vidjeti u jednadžbi (1.2).



Slika 12. Sila vilice na držaču kuke

### 5.3.2. Proračun čvrstoće

Kritičan presjek držač kuke je u presjeku A-A koji je označen na slici 12.

$$\sigma_v = \frac{F_v}{A_{proj}} = \frac{3924}{7,5 \cdot 10 + 19,5 \cdot 10} = 14,53 \text{ N/mm}^2 \quad (1.15)$$

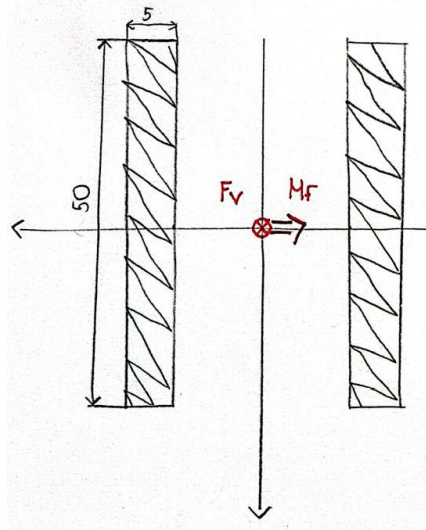
Odabrani materijal držača kuke je čelik Č0361 te je stoga sigurnost držača [1]:

$$S = \frac{\sigma_{dop}}{\sigma_v} = \frac{220}{14,53} = 15,1 \geq S_{potr} = 2 \quad (1.16)$$

Držač kuke zadovoljava.

### 5.3.3. Provjera zavara

Kritični zavar zavarene konstrukcije je zavarena gornja ploha držača kuke. Zavar je opterećen na savojno i tlačno opterećenje, no prije izračuna naprezanja odrediti ćemo moment tromosti zavara:



**Slika 13. Kritičan presjek zavara sa opterećenjem**

$$I_y = 2 * \frac{b * h^3}{12} = 2 * \frac{5 * 50^3}{12} \quad (1.17)$$

$$I_y = 104166,67 \text{ mm}^4 \quad (1.18)$$

Gdje su:

$I_y$ =moment tromosti zavara

$b$ =debljina zavara

$h$ =visina zavara

Nakon što smo odredili moment tromosti možemo izračunati moment savijanja, savojno naprezanje i tlačno naprezanje:

$$M_f = F_V * 65 = 255060 \text{ N/mm}^2 \quad (1.19)$$

$$\sigma_f = \frac{M_f}{W_y} \quad (1.20)$$

$$W_y = \frac{I_y}{e} = \frac{104166,67}{25} = 4166,67 \text{ mm}^3 \quad (1.21)$$

$$\sigma_f = \frac{255060}{4166,67} = 61,21 \text{ N/mm}^2 \quad (1.22)$$

$$\sigma_t = \frac{F_V}{A_{zav}} \quad (1.23)$$

$$A_{zav} = 2 * 5 * 50 = 500 \text{ mm}^2 \quad (1.24)$$

$$\sigma_t = \frac{3924}{500} = 7,848 \text{ N/mm}^2 \quad (1.25)$$

$$\sigma_{ekv} = \sqrt{(\sum \sigma)^2 + (3\tau)^2} = \sqrt{61,21^2 + (3 * 7,848)^2} = 69,06 \text{ N/mm}^2 \quad (1.26)$$

Gdje su:

$M_f$ =maksimalni moment fleksije koji djeluje na zavar

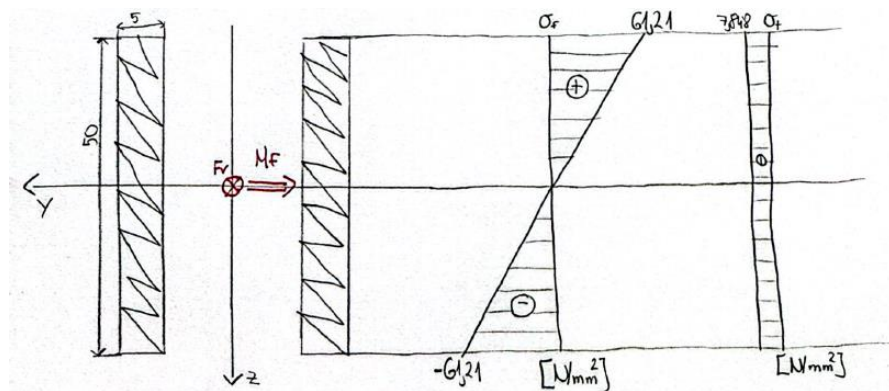
$\sigma_f$ =maksimalno savojno naprezanje koje djeluje na zavar

$W_y$ =moment otpora zavara

$e$ =najveća udaljenost presjeka zavara od y-osi

$\sigma_t$ =maksimalno tlačno naprezanje na zavaru

$A_{zav}$ =površina kritičnog presjeka zavara



Slika 14. Naprezanja u kritičnom zavaru držača kuke

Uzimajući iznos ekvivalentnog naprezanja iz (1.26) i određujući čelik Č0645 kao materijal zavara, možemo provjeriti zadovoljava li zavar čvrstoću [1]:

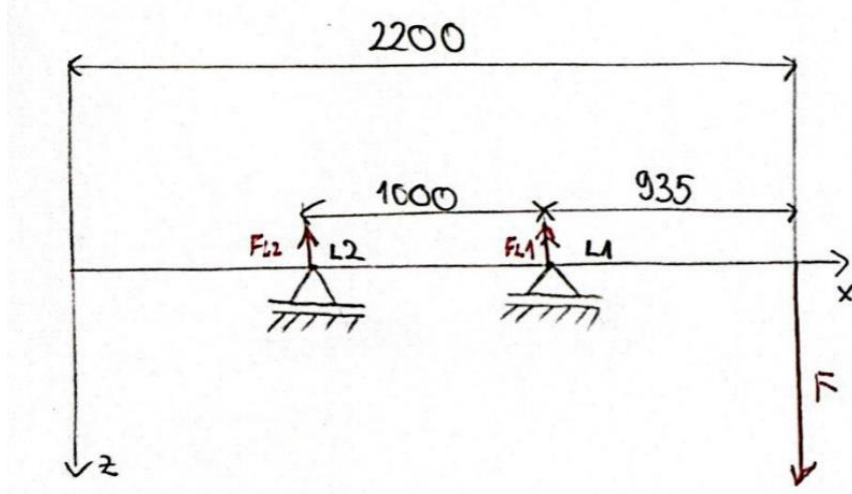
$$S = \frac{\sigma_{dop}}{\sigma_{ekv}} = \frac{160}{69,06} = 2,31 \geq S_{potr} = 2 \quad (1.27)$$

Zavar zadovoljava.

## 5.4. Proračun produljene ruke utovarivača

### 5.4.1. Proračun sila

Produljenu ruku kvadratnog presjeka ćemo radi lakše izračune sila u ovom poglavlju pojednostaviti kao gredu oslonjenu na dva pomična oslonca.



**Slika 15. Produljena ruka pojednostavljena kao greda**

$F = m * g$  = sila teže tereta

$F_{L1}$  = sila reakcija na osloncu L1

$F_{L2}$  = sila reakcije na osloncu L2

Korištenjem zakona statike dolazimo do slijedećih rješenja:

$$\sum F_z = 0 \quad (1.28)$$

$$F = F_{L1} + F_{L2} \quad (1.29)$$

$$800 * 9,81 = F_{L1} + F_{L2} \quad (1.30)$$

$$\sum M_y^{L1} = 0 \quad (1.31)$$

$$-F * 935 = F_{L2} * 1000 \quad (1.32)$$

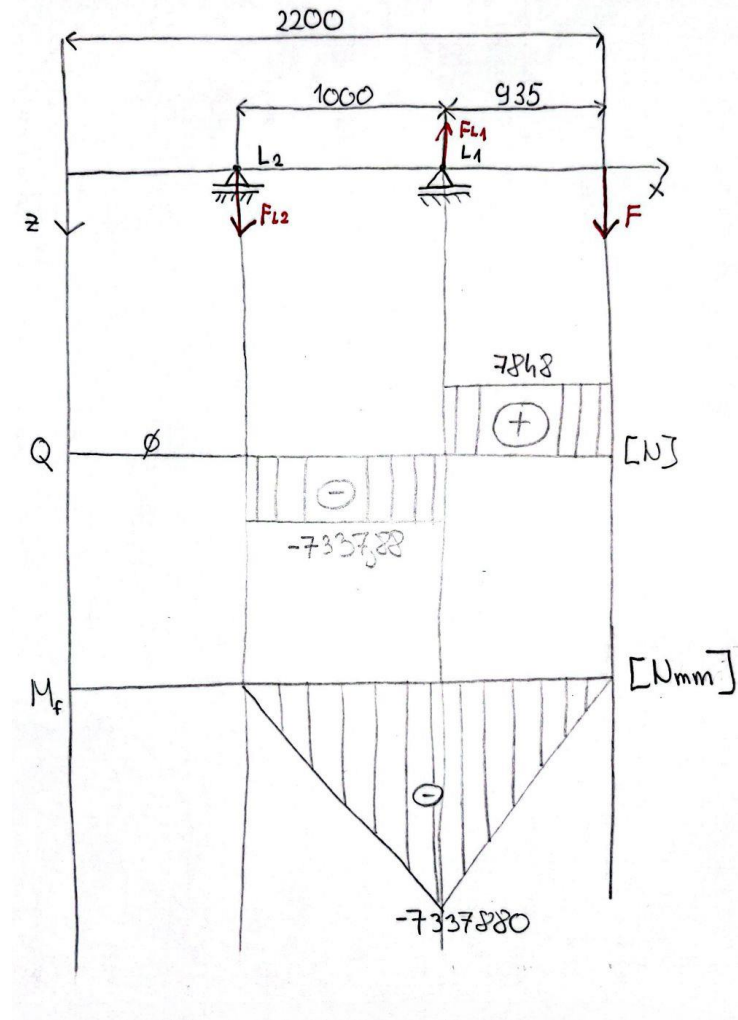
Uvrštavanjem jednadžbe (1.32) u jednadžbu (1.29) dobijemo iznos sila:

$$F_{L1} = 15185,88 N \quad (1.33)$$

$$F_{L2} = -7337,88 N \quad (1.34)$$

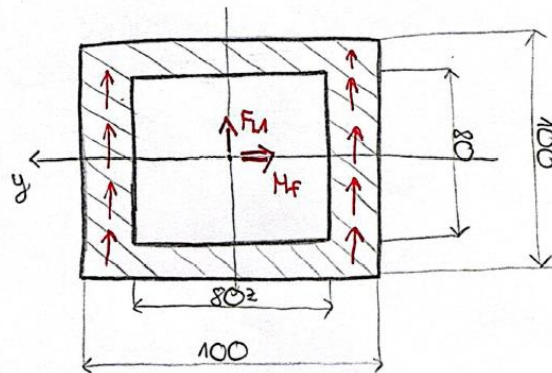
#### 5.4.2. Proračun čvrstoće na kritičnom presjeku

Produljena ruka utovarivača opterećena je na savojno i posmično naprezanje, no kritičnija je na savijanje te ćemo toga po iznosu momenta savijanja odrediti kritični presjek elementa.



Slika 16. Podjela opterećenja po duljini grede

Iz slike 16 možemo zaključiti da je kritičan presjek elementa u točki L1.



Slika 17. Kritičan presjek produljenje glave i opterećenja

Naprezanja u kritičnom presjeku iznose:

$$\sigma_f = \frac{M_f}{I} * e = \frac{M_f}{\left(\frac{a^4}{12} - \frac{a_u^4}{12}\right)} * \frac{a}{2} \quad (1.35)$$

$$\sigma_f = \frac{7337880}{\left(\frac{100^4}{12} - \frac{80^4}{12}\right)} * 50 \quad (1.36)$$

$$\sigma_f = 74,57 \text{ N/mm}^2 \quad (1.37)$$

$$\tau = \frac{F_{L1}}{A_{proj}} \quad (1.38)$$

$$A_{proj} = 2 * 100 * 10 = 2000 \text{ mm}^2 \quad (1.39)$$

$$\tau = \frac{15185,88}{2000} = 7,6 \text{ N/mm}^2 \quad (1.40)$$

$$\sigma_{red} = \sqrt{\sigma_f^2 + 3\tau^2} = \sqrt{74,57^2 + (3 * 76)^2} = 75,72 \text{ N/mm}^2 \quad (1.41)$$

Gdje su:

$M_f$ =maksimalni savojni moment elementa

$A_{proj}$ =površina presjeka elementa na kojem djeluje posmično naprezanje

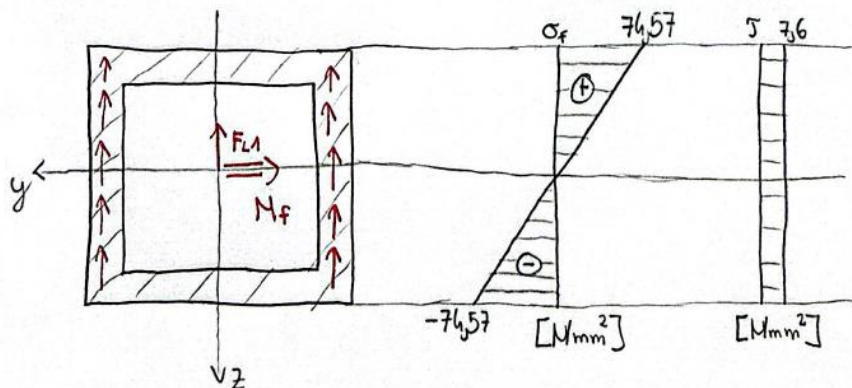
$\tau$ =posmično naprezanje u kritičnom presjeku elementa

$\sigma_{ekv}$ =ekvivalentno naprezanje u kritičnom presjeku elementa

$a$ =vanska duljina stranice kvadratnog kritičnog presjeka elementa

$a_u$ =unutarnja duljina stranice kvadratnog kritičnog presjeka elementa

$I$ =moment tromosti kritičnog presjeka elementa



Slika 18. Djelovanje opterećenja po kritičnom presjeku

Nakon analiziranja iznosa naprezanja odabran je čelik Č0645 kao materijal elementa [1].

$$\sigma_{ekv} = 75,72 \text{ N/mm}^2 \leq \sigma_{dop} = 160 \text{ N/mm}^2 \quad (1.42)$$

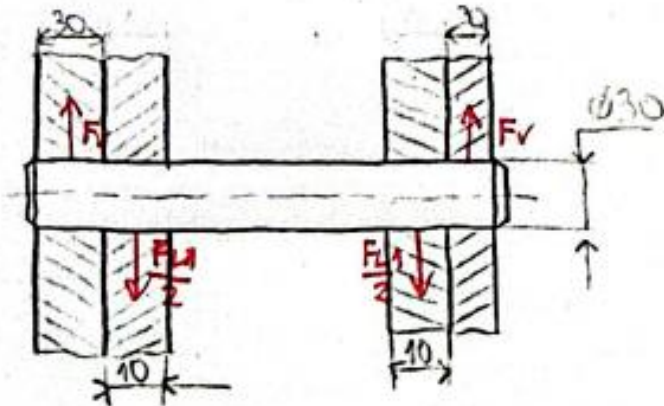
Te je stoga minimalna sigurnost elementa:

$$S = \frac{\sigma_{dop}}{\sigma_{ekv}} = \frac{160}{75,72} = 2,11 \geq S_{potr} = 2 \quad (1.43)$$

Produljena ruka utovarivača zadovoljava.

## 5.5. Svornjak na osloncu L1

### 5.5.1. Proračun sila



Slika 19. Sile reakcije koje djeluju na svornjak oslonca L1

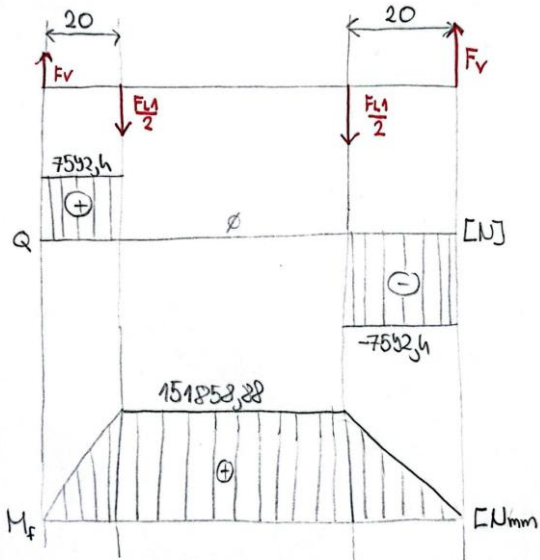
Na svornjak utječe sila oslonca L1 čiji se iznos nalazi u (1.33) i 2 sile vilice čiji je iznos:

$$F_v = \frac{F_{L1}}{2} = \frac{15185,88}{2} \quad (1.44)$$

$$F_v = 7592,94 \text{ N} \quad (1.45)$$

### 5.5.2. Proračun čvrstoće

Značenje oznaka koje ćemo koristiti za računanje možemo vidjeti na slici 11.



Slika 20. Iznosi opterećenja duž duljine svornjaka oslonca L1

Element čemo provjeriti na tlakove, smik i savijanje:

$$p_v = \frac{F_{L1}}{2a*d} = \frac{15185,88}{2*30*30} \quad (1.46)$$

$$p_v = 8,44 \text{ N/mm}^2 \quad (1.47)$$

$$p_u = \frac{F_{L1}}{2b*d} = \frac{1518,88}{2*10*30} = 14,31 \text{ N/mm}^2 \quad (1.48)$$

$$\tau_a = \frac{F_{L1}}{2A} = \frac{15185,88}{2 * \frac{30^2 \pi}{4}} = 10,75 \text{ N/mm}^2 \quad (1.49)$$

$$\sigma_f = \frac{M_F}{0,1d^3} = \frac{151858,8}{0,1*30^3} \quad (1.50)$$

$$\sigma_f = 56,2 \text{ N/mm}^2 \quad (1.51)$$

Odabrani materijal svornjaka oslonca L1 je sivi lijev (SL) [2]:

$$p_v = 8,44 \text{ N/mm}^2 \leq p_{dop} = 32 \text{ N/mm}^2 \quad (1.52)$$

$$p_u = 14,31 \text{ N/mm}^2 \leq p_{dop} = 32 \text{ N/mm}^2 \quad (1.53)$$

$$\tau_a = 10,75 \text{ N/mm}^2 \leq \tau_{adop} = 74 \text{ N/mm}^2 \quad (1.54)$$

$$\sigma_f = 56,2 \text{ N/mm}^2 \leq \sigma_{fdop} = 134 \text{ N/mm}^2 \quad (1.55)$$

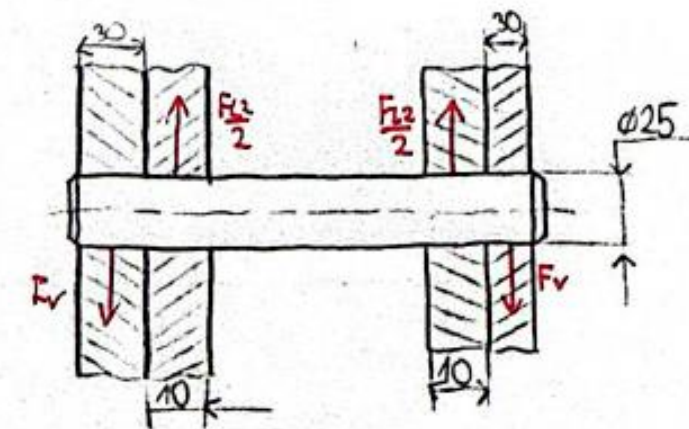
Analiziranjem izraza od (1.52) do (1.55) možemo zaključiti kako je svornjak najkritičniji na savijanje, stoga je njegova minimalna sigurnost:

$$S = \frac{\sigma_{dop}}{\sigma_f} = \frac{134}{56,2} = 2,4 \geq S_{potr} = 2 \quad (1.56)$$

Svornjak oslonca L1 zadovoljava.

## 5.6. Svornjak oslonca L2

### 5.6.1. Proračun sila



Slika 21. Sile reakcije koje djeluju na svornjak oslonca L2

Na svornjak utječe sila oslonca L2 čiji se iznos nalazi u (1.34) i 2 sile vilice čiji je iznos:

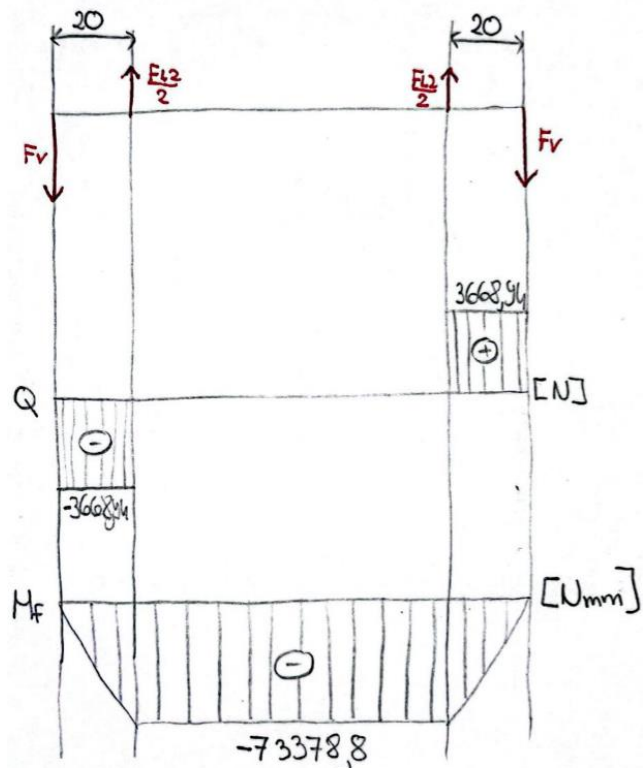
$$F_v = \frac{F_{L2}}{2} = \frac{7337,88}{2} \quad (1.57)$$

$$F_v = 3668,94 \text{ N} \quad (1.58)$$

### 5.6.2. Proračun čvrstoće

Značenje oznaka koje ćemo koristiti za računanje možemo vidjeti na slici 11. Ostale oznake su:

$M_f$ =maksimalni moment savijanja svornjaka



Slika 22. Iznosi opterećenja duž duljine svornjaka oslonca L2

Element ćemo provjeriti na tlakove, smik i savijanje:

$$p_u = \frac{F_{L2}}{2b*d} = \frac{7337,88}{2*10*25} = 14,7 \text{ N/mm}^2 \quad (1.59)$$

$$p_v = \frac{F_{L2}}{2a*d} = \frac{7337,88}{2*30*30} = 4,08 \text{ N/mm}^2 \quad (1.60)$$

$$\tau_a = \frac{F_{L2}}{2A} = \frac{7337,86}{2 * \frac{25^2 \pi}{4}} = 7,47 \text{ N/mm}^2 \quad (1.61)$$

$$\sigma_f = \frac{M_f}{0,1d^3} = \frac{73378,8}{0,1*25^3} = 46,96 \text{ N/mm}^2 \quad (1.62)$$

Analiziranjem naprezanja i tlakova svornjaka, odabrani materijal svornjaka oslonca L2 je sivi lijev(SL) [1]:

$$p_u = 14,7 \text{ N/mm}^2 \leq p_{dop} = 32 \text{ N/mm}^2 \quad (1.63)$$

$$p_v = 4,08 \text{ N/mm}^2 \leq p_{dop} = 32 \text{ N/mm}^2 \quad (1.64)$$

$$\tau_a = 7,47 \text{ N/mm}^2 \leq \tau_{dop} = 74 \text{ N/mm}^2 \quad (1.65)$$

$$\sigma_f = 46,92 \text{ N/mm}^2 \leq \sigma_{dop} = 134 \text{ N/mm}^2 \quad (1.66)$$

Analizom izraza od (1.63) do (1.66) možemo zaključiti da je svornjak najkritičniji na unutarnji tlak te je stoga njegova minimalna sigurnost:

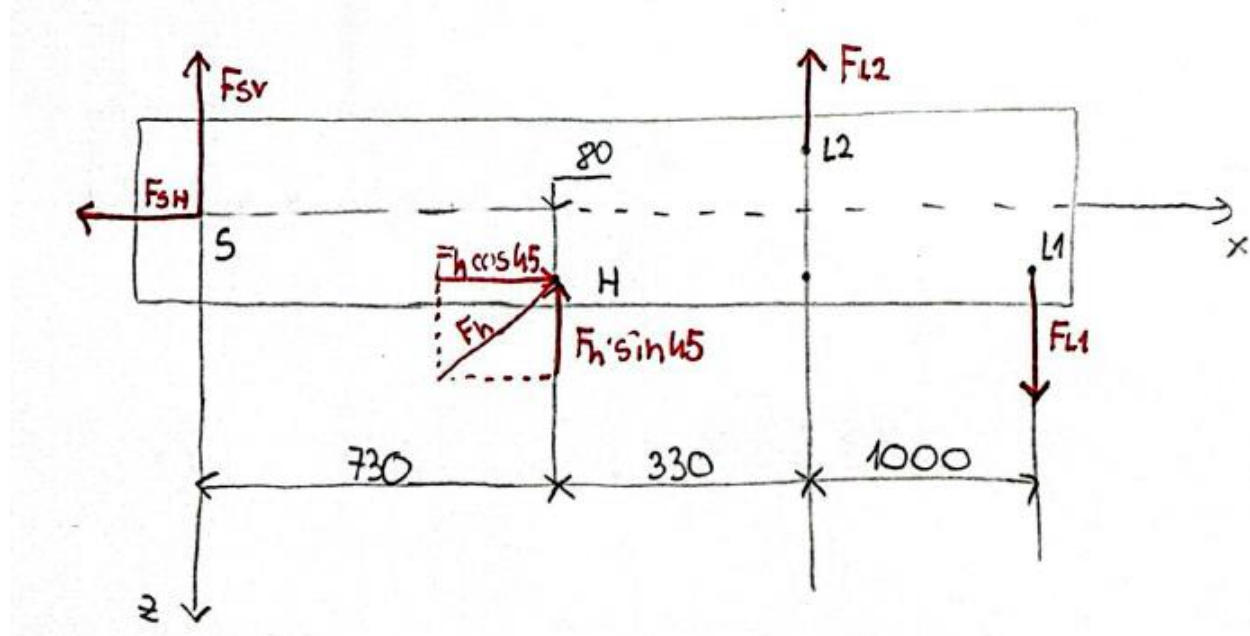
$$S = \frac{p_{dop}}{p_u} = \frac{32}{14,7} = 2,18 \geq S_{potr} = 2 \quad (1.67)$$

Svornjak oslonca L2 zadovoljava.

## 5.7. Ruka utovarivača

### 5.7.1. Proračun sile

Na ruku utovarivača djeluju već spomenute sile na osloncima L1 i L2. Sila hidrauličkog cilindra i silu reakcije u svornjaku oslonca S ne poznajemo te ćemo ih izračunati u ovom poglavlju. Na slici 23 možemo vidjeti dimenzijski odnos sila te ih tako i izračunati:



Slika 23. Položaj sile na ruci utovarivača

$$\sum F_x = 0 \quad (1.68)$$

$$\cos(45) * F_h = F_{SH} \quad (1.69)$$

$$\sum F_z = 0 \quad (1.70)$$

$$F_{L1} - F_{L2} - \sin(45) * F_h - F_{sv} = 0 \quad (1.71)$$

$$15185,88 - 7337,88 - \frac{\sqrt{2}}{2} F_h - F_{sv} = 0 \quad (1.72)$$

$$\sum M_s = 0 \quad (1.73)$$

$$F_{L2} * 1060 - F_{L1} * 2060 + \sin(45) * F_h * 730 + \cos(45) * F_h * 80 = 0 \quad (1.74)$$

$$7778152,8 - 31282912,8 + 516,19F_h + 56,57F_h = 0 \quad (1.75)$$

Gdje su:

$F_{SH}$ =horizontalna komponenta sile reakcije u osloncu S

$F_{SV}$ =vertikalna komponenta sile reakcije u osloncu S

$F_h$ =sila hidrauličkog cilindra

Pošto imamo 3 nepoznanice i tri jednadžbe (1.69), (1.72) i (1.75) možemo izračunati iznose sila:

$$F_h = 41037,71 N \quad (1.76)$$

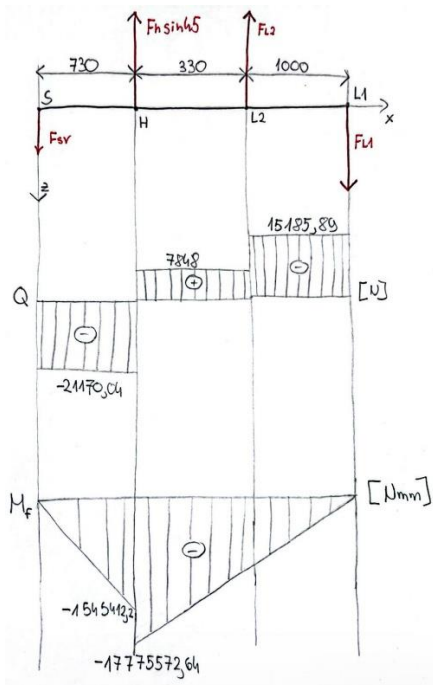
$$F_{SH} = 29018,04 N \quad (1.77)$$

$$F_{SV} = -21170,04 N \quad (1.78)$$

Nakon što smo izračunali sile možemo prijeći na izračun čvrstoće elementa.

### 5.7.2. Proračun čvrstoće

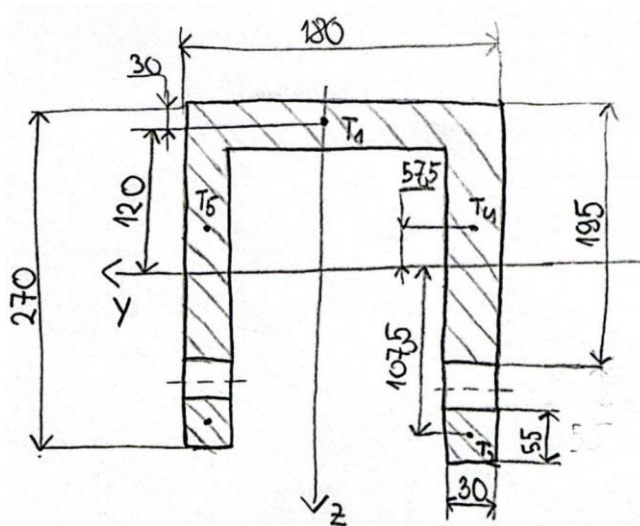
Na ruku utovarivača utječu dva oblika naprezanja i to su savojno i posmično naprezanje, no pošto su intuitivno savojna naprezanja većeg iznosa od posmičnih naprezanja kritični presjek ćemo odrediti preko maksimalnog momenta reakcije:



Slika 24. Iznosi opterećenja duž ruke utovarivača

$M_R = F_h * \cos(45) * 80$ =moment reakcije aksijalne komponentne sile hidrauličkog cilindra

Iz slike 24 možemo zaključiti kako se kritičan presjek ruke nalazi u točki H. Pošto je kritični presjek u točki H obrnutog „U“ formata s dvije rupe, prvo ćemo izračunati moment tromosti presjeka u točki H:



Slika 25. Položaj težišta elementa kritičnog presjeka ruke utovarivača

$$I_y = \sum_{i=1}^{n=5} I_{yi} + A_i * d_i \quad (1.79)$$

$$I_{y1} = \frac{150*30^3}{12} + 150 * 30 * 120 \quad (1.80)$$

$$I_{y1} = 877500 \text{ mm}^4 \quad (1.81)$$

$$I_{y2} = I_{y3} = \frac{30*35^3}{12} + 30 * 55 * 107,5 \quad (1.82)$$

$$I_{y2} = I_{y3} = 220062,5 \text{ mm}^4 \quad (1.83)$$

$$I_{y4} = I_{y5} = \frac{30*195^3}{12} + 30 * 195 * 57,5 \quad (1.84)$$

$$I_{y5} = I_{y4} = 18873562,5 \text{ mm}^4 \quad (1.85)$$

$$I_y = I_{y1} + I_{y2} + I_{y3} + I_{y4} + I_{y5} = 877500 + 2 * 220062,5 + 2 * 18873562,5 \quad (1.86)$$

$$I_y = 39064750 \text{ mm}^4 \quad (1.87)$$

Gdje su:

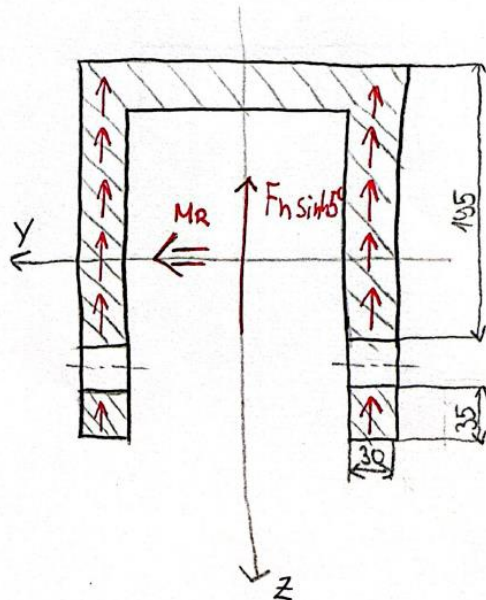
$I_{yi}$ =moment tromosti jednog od 5 elemenata presjeka

$I_y$ =moment treomosti kritičnog presjeka ruke utovarivača

$A_i$ =površina jednog od 5 elemenata presjeka

$d_i$ =udaljenost težišta jednog od 5 elemenata presjeka od y osi presjeka

Kada smo odredili moment tromosti presjeka, možemo izračunati savojno i posmično naprezanje presjeka te preko njih dobit ekvivalentno naprezanje kritičnog presjeka:



**Slika 26. Djelovanje opterećenja na kritičan presjek ruke utovarivača**

$$\sigma_f = \frac{M_f}{I_y} * e = \frac{17775572,65}{39064750} * \frac{270}{2} = 61,42 \text{ N/mm}^2 \quad (1.88)$$

$$\tau = \frac{F_h * \sin 45^\circ}{A_{proj}} \quad (1.89)$$

$$A_{proj} = 2 * 35 * 30 + 2 * 195 * 30 \quad (1.90)$$

$$A_{proj} = 13800 \text{ mm}^2 \quad (1.91)$$

$$\tau = \frac{41037,71 * \sin 45^\circ}{13800} = 2,1 \text{ N/mm}^2 \quad (1.92)$$

$$\sigma_{ekv} = \sqrt{\sigma_f^2 + 3\tau^2} = \sqrt{61,45^2 + (3 * 2,1)^2} \quad (1.93)$$

$$\sigma_{ekv} = 61,52 \text{ N/mm}^2 \quad (1.94)$$

Gdje su:

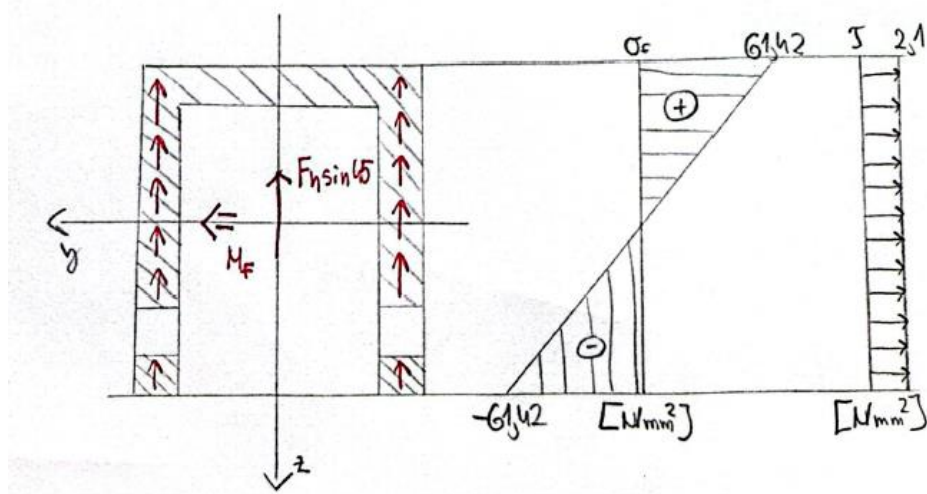
$M_f$ =maksimalni savojni moment elementa

$A_{proj}$ =površina presjeka elementa na kojem djeluje posmično naprezanje

$\tau$ =posmično naprezanje u kritičnom presjeku elementa

$\sigma_{ekv}$ =ekvivalentno naprezanje u kritičnom presjeku elementa

$e$ =vertikalna udaljenost od proizvoljne y-osi u kritičnom presjeku



Slika 27. Iznosi naprezanja duž kritičnog presjeka ruke utovarivača

Nakon analize dobivenog iznosa ekvivalentnog naprezanja u izrazu (1.94) odabran je čelik Č0561 kao materijal ruke utovarivača [1]:

$$\sigma_{ekv} = 61,52 \text{ N/mm}^2 \leq \sigma_{dop} = 140 \text{ N/mm}^2 \quad (1.95)$$

Stoga je minimalna sigurnost ruke utovarivača:

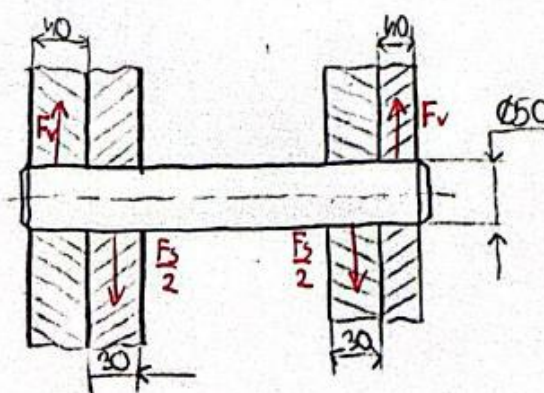
$$S = \frac{\sigma_{dop}}{\sigma_{ekv}} = \frac{140}{61,52} = 2,27 \geq S_{potr} = 2 \quad (1.96)$$

Ruka utovarivača zadovoljava.

## 5.8. Svornjak oslonca S

### 5.8.1. Proračun sila

Na svornjak utječe rezultanta sile oslonca S koju smo prošlo poglavljje podijelili na 2 dvije komponente (1.77) i (1.78). Također imamo 2 sile u vilicima.



Slika 28. Sile koje djeluju na svornjak oslonca S

Rezultanta sila reakcije u osloncu S i sila vilice iznose:

$$F_s = \sqrt{F_{SH}^2 + F_{SV}^2} = \sqrt{29018,04^2 + 21170,04^2} \quad (1.97)$$

$$F_s = 35919,6 \text{ N} \quad (1.98)$$

$$F_v = \frac{F_s}{2} = \frac{35919,6}{2} \quad (1.99)$$

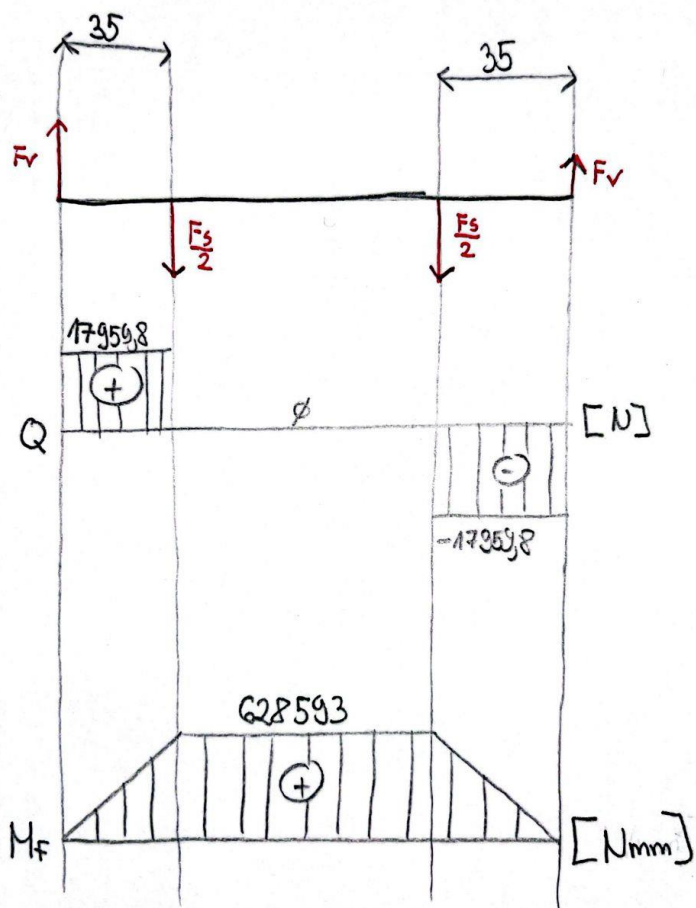
$$F_v = 17959,8 \text{ N} \quad (1.100)$$

Gdje je:

$F_s$ =rezultantna sila reakcije u osloncu S

Nakon što smo odredili potrebne sile možemo svornjak provjeriti i na čvrstoću.

### 5.8.2. Proračun čvrstoće



Slika 29. Iznosi opterećenja po duljini svornjaka oslonca S

Iz slike 29 možemo odrediti maksimalni okretni moment reakcije te s njime izračunati maksimalno savojno naprezanje. Uz savojno naprezanje, računamo i smično naprezanje te djelovanje unutarnjih i vanjskih tlakova:

$$p_u = \frac{F_s}{2b*d} = \frac{35919,6}{2*30*50} = 12 \text{ N/mm}^2 \quad (1.101)$$

$$p_v = \frac{F_s}{2a*d} = \frac{35919,6}{2*40*50} = 8,98 \text{ N/mm}^2 \quad (1.102)$$

$$\tau_a = \frac{F_s}{2A} = \frac{35919,6}{2*\frac{50^2\pi}{4}} = 9,15 \text{ N/mm}^2 \quad (1.103)$$

$$\sigma_f = \frac{M_f}{W} = \frac{628593}{0,1*50^3} = 50,3 \text{ N/mm}^2 \quad (1.104)$$

Analizom iznosa tlakova i naprezanja, zaključujemo da će odabrani materijal svornjaka oslonca S biti sivi lijev(SL) [1]:

$$p_u = 12 \text{ N/mm}^2 \leq p_{dop} = 32 \text{ N/mm}^2 \quad (1.105)$$

$$p_v = 8,98 \text{ N/mm}^2 \leq p_{dop} = 32 \text{ N/mm}^2 \quad (1.106)$$

$$\tau_a = 9,15 \text{ N/mm}^2 \leq \tau_{adop} = 74 \text{ N/mm}^2 \quad (1.107)$$

$$\sigma_f = 50,3 \frac{N}{mm^2} \leq \sigma_{fdop} = 134 \text{ N/mm}^2 \quad (1.108)$$

Analizom iznosa od (1.105) do (1.108) zaključujemo kako je svornjak oslonca S najkritičniji na unutarnji tlak te je stoga minimalna sigurnost svornjaka oslonca S:

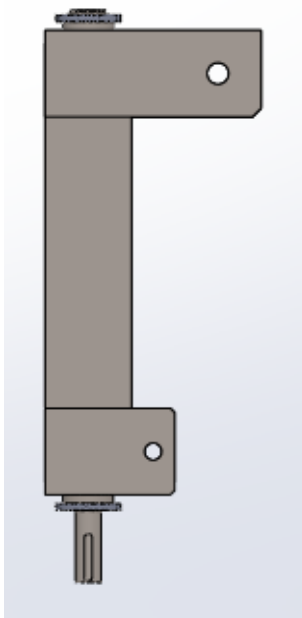
$$S = \frac{p_{dop}}{p_u} = \frac{32}{12} = 2,67 \geq S_{potr} = 2 \quad (1.109)$$

Svornjak oslonca S zadovoljava.

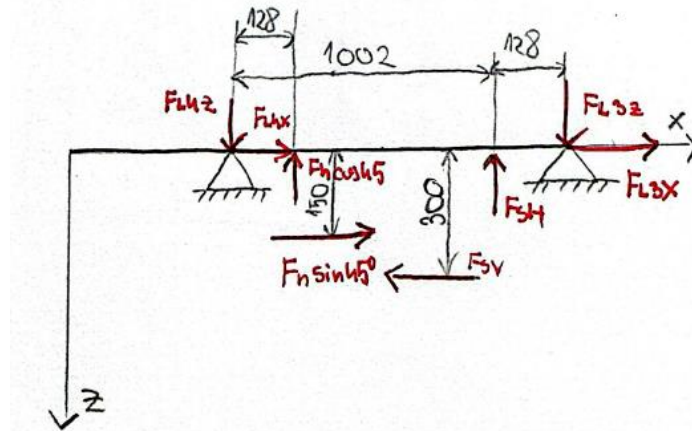
## 5.9. Zavareni rotacijski podskop

### 5.9.1. Proračun sila

Zavareni rotacijski podsklop sastoji se od oslonca ruke, oslonca hidrauličkog cilindra, stupa šupljeg kvadratnog presjeka te 2 radijalno aksijalna ležaja.



**Slika 30. Rotacijski podsklop**

**Slika 31. Položaji sila na rotacijskom podsklopu**

Na podsklop utječu horizontalna i vertikalna sila reakcija u osloncu (1.77) i (1.78) te hidraulička sila hidrauličkog cilindra (1.76):

$$\sum F_x = 0 \quad (1.110)$$

$$F_{L4x} = F_{SV} + F_h * \sin(45) \quad (1.111)$$

$$F_{L4x} = 21170,04 + \frac{\sqrt{2}}{2} * 41037,71 \quad (1.112)$$

$$\sum F_z = 0 \quad (1.113)$$

$$F_{L3z} + F_{L4z} = F_{SH} + F_h * \cos(45) \quad (1.114)$$

$$F_{L3z} + F_{L4z} = 29018,04 + \frac{\sqrt{2}}{2} * 41037,71 \quad (1.115)$$

$$\sum M_{L3} = 0 \quad (1.116)$$

$$F_h * \cos(45) * 1002 + F_h * \sin(45) * 150 + F_{SH} * 128 + F_{SV} * 300 = F_{L4z} * 1130 \quad (1.117)$$

$$1130 * F_{L4z} = 334287850,57 + 29018,04 * 128 + 21170,04 * 300 \quad (1.118)$$

Gdje su:

$F_{L4x}$ =aksijalna komponentna sile u osloncu L4

$F_{L3z}$ =radijalna komponentna sile u osloncu L3

$F_{L4z}$ =radijalna komponentna sile u osloncu L4

Analiziranjem jednadžbi zaključujemo kako imamo 3 jednadžbe s 3 nepoznanice. Koristeći jednadžbe (1.112), (1.115), (1.118) dobijemo slijedeće iznose:

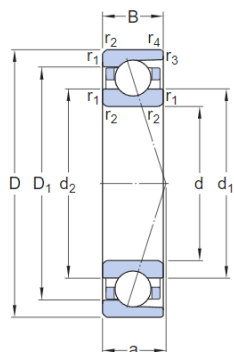
$$F_{L4x} = 50188,08 N \quad (1.119)$$

$$F_{L3z} = 19545,72 N \quad (1.120)$$

$$F_{L4z} = 38490,36 N \quad (1.121)$$

### 5.9.2. Proračun ležaja

Podsklop se rotira oko dvaju istih radijalnih ležaja. Promatranjem sklopa i sila u osloncima, zaključujemo kako je ležaj u osloncu L4 kritičan ležaj. Odabrani ležaj je ležaj SKF 7020 CD/P4A te njihove tehničke specifikacije se nalaze na slici 32 i tablici 3.



Dimensions

d	100 mm	Bore diameter
D	150 mm	Outside diameter
B	24 mm	Width
d <sub>1</sub>	115.4 mm	Shoulder diameter of inner ring (large side face)
d <sub>2</sub>	115.4 mm	Shoulder diameter of inner ring (small side face)
D <sub>1</sub>	134.6 mm	Shoulder diameter of outer ring (large side face)
r <sub>1,2</sub>	min. 1.5 mm	Chamfer dimension
r <sub>3,4</sub>	min. 1 mm	Chamfer dimension
a	28.8 mm	Distance from side face to pressure point

Slika 32. Dimenzije ležaja [7]

Tablica 3. Tehnički podaci ležaja [7]

Tehnički podaci			
Dinamička nosivost ležaja	C	83,2 kN	
Statička nosivost ležaja	C <sub>0</sub>	85 Kn	
Granično opterećenje zamora	P <sub>u</sub>	3,2 kN	
Maksimalna brzina vrtnje za lubrikaciju mazivom		8500 okr/min	
Maksimalna brzina vrtnje za lubrikaciju uljem/zrakom		14000 okr/min	
Kut dodira	α	15°	
Promjer kuglica	D <sub>W</sub>	15,875 mm	
Količina redova (po ležaju)	i	1	
Broj kuglica (po ležaju)	z	22	

Prvo ćemo izračunati odnose radijalne i aksijalne sile ležaja te tako i odrediti njegovo dinamičko radijalno opterećenje:

$$\frac{f_0 * F_{L4X}}{C_0} = \frac{15,8 * 50,2}{85} = 9,33 \quad (1.122)$$

$$e \approx 0,44 \quad (1.123)$$

$$\frac{F_a}{F_r} = \frac{F_{L4X}}{F_{L4Z}} = \frac{50188,08}{38490,36} = 1,3 \quad (1.124)$$

Gledajući odnos (1.123) i (1.124) zaključujemo kako je  $\frac{F_a}{F_r} > e$  te je stoga dinamičko radijalno opterećenje ležaja:

$$P_r = 0,35 * F_r + 0,57 * F_a = 0,35 * 38490,36 + 0,57 * 50188,08 \quad (1.125)$$

$$P_r = 42078,83 \text{ N} \quad (1.126)$$

Nakon što znamo dinamičko radikalno opterećenje ležaja, možemo odrediti sigurnost ležaja:

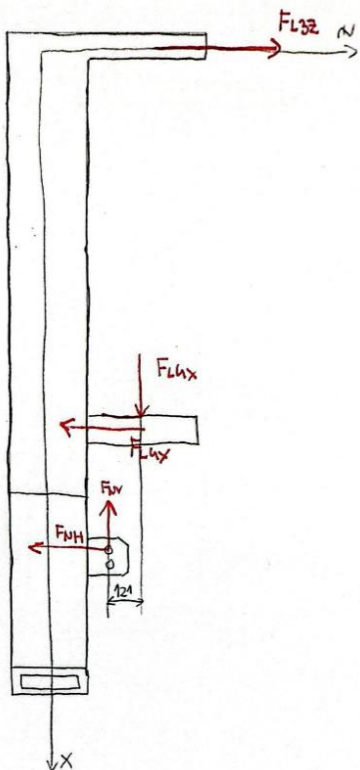
$$S = \frac{c_0}{P_r} = \frac{85}{42,07} = 2,02 \geq S_{potr} = 2 \quad (1.127)$$

Ležaj zadovoljava.

## 5.10. Kostur utovarivača

### 5.10.1. Proračun sile

Na kostur utovarivača utječu iste sile koje utječu i na radikalne ležajeve te čije iznose imamo u izrazima (1.119), (1.120) i (1.121). Također imamo sile reakcije svornjaka u osloncu N.



Slika 33. Položaj sile na kosturu utovarivača

$$\sum F_z = 0 \quad (1.128)$$

$$F_{NH} = F_{L3z} - F_{L4x} \quad (1.129)$$

$$F_{NH} = 19545,7 - 50188,08 \quad (1.130)$$

$$\sum M_{L3} = 0 \quad (1.131)$$

$$F_{NH} * 883 + F_{NV} * 121 + F_{L3z} * 1130 = 0 \quad (1.132)$$

$$F_{NH} * 883 + F_{NV} * 121 = -19545,7 * 1130 \quad (1.133)$$

Gdje su:

$F_{NH}$ =horizontalna komponenta sile reakcije zatika u osloncu N

$F_{NV}$ =vertikalna komponenta sile reakcije zatika u osloncu N

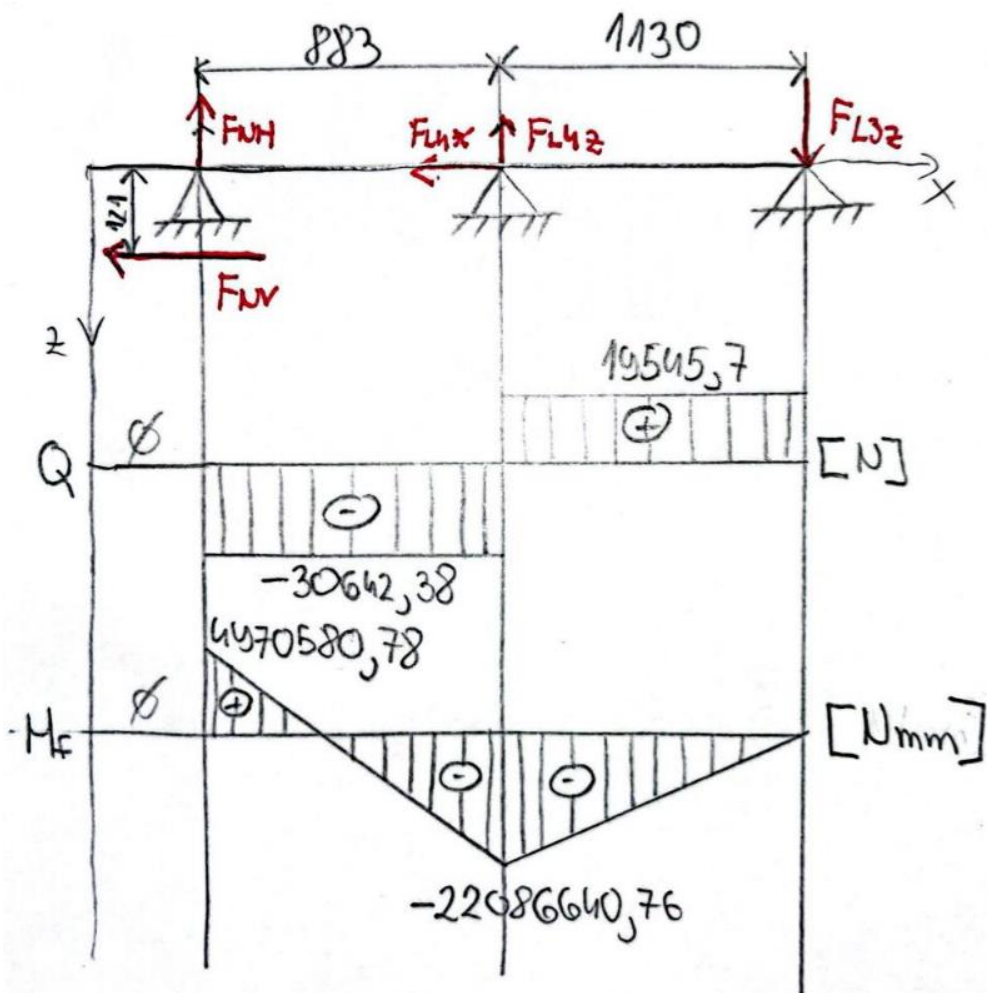
Korištenjem izraza (1.133) i (1.130) dolazimo do rješenja:

$$F_{NH} = -30642,38 \text{ N} \quad (1.134)$$

$$F_{NV} = 41079,18 \text{ N} \quad (1.135)$$

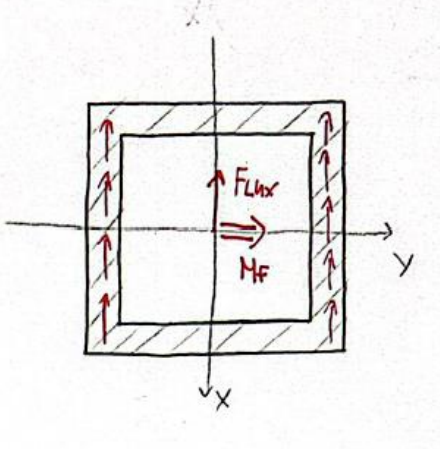
### 5.10.2. Proračun čvrstoće

Radi lakšeg proračuna momenta savijanja, na slici 34 kostur je pojednostavljen kao greda na 3 oslonca:



Slika 34. Iznosi opterećenja duž kostura utovarivača

Iz slike 34 zaključujemo kako je kritičan presjek kostura u osloncu L4 jer se tamo nalazi maksimalni moment savijanja. U osloncu L4 na presjek kostura djeluju posmično i savojno naprezanje:



Slika 35. Opterećenja na kritičnom presjeku kostura utovarivača

$$\sigma_f = \frac{M_f}{I_y} * e \quad (1.136)$$

$$I_y = \frac{b \cdot h^3}{12} - \frac{b_u \cdot h_u^3}{12} = \frac{200 \cdot 300^3}{12} - \frac{140 \cdot 240^3}{12} \quad (1.137)$$

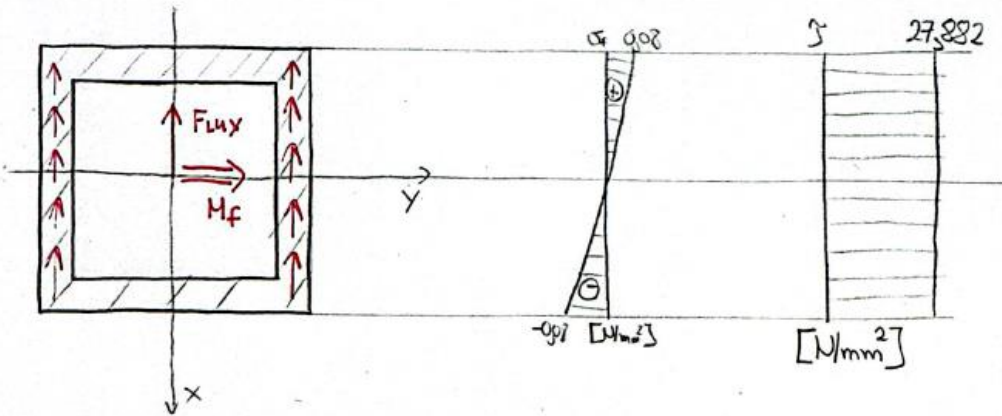
$$I_y = 288720000 \text{ mm}^4 \quad (1.138)$$

$$\sigma_f = \frac{22086640,76}{288720000} = 0,08 \text{ N/mm}^2 \quad (1.139)$$

$$\tau = \frac{F_{L4x}}{A} = \frac{501888,08}{2 \cdot 300 \cdot 30} = 27,882 \text{ N/mm}^2 \quad (1.140)$$

$$\sigma_{ekv} = \sqrt{\sigma_f^2 + 3 * \tau^2} = \sqrt{0,08^2 + 3 * 27,882^2} \quad (1.141)$$

$$\sigma_{ekv} = 48,3 \text{ N/mm}^2 \quad (1.142)$$



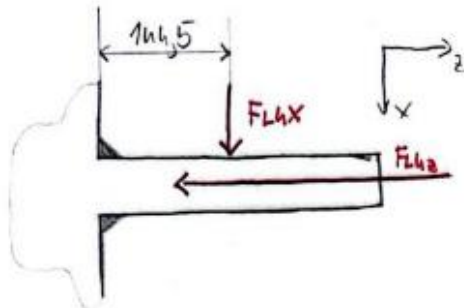
Slika 36. Iznosi naprezanja duž kritičnog presjeka kostura utovarivača

Nakon analize iznosa (1.142) odabran je čelik Č0561 kao materijal kostura [1]:

$$S = \frac{\sigma_{dop}}{\sigma_{ekv}} = \frac{160}{48,3} = 3,31 \geq S_{potr} = 2 \quad (1.143)$$

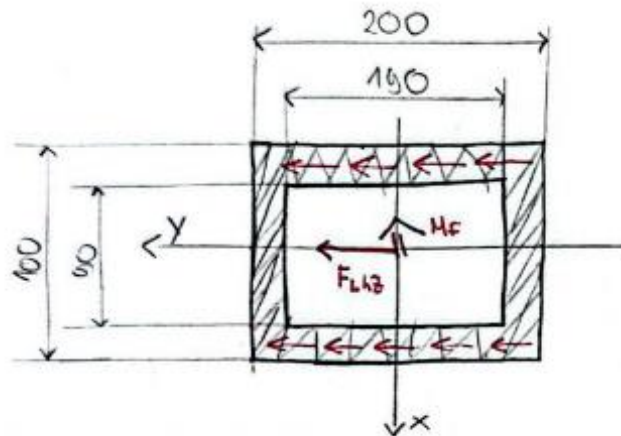
### 5.10.3. Proračun zavara

Kostur ima više zavarenih površina, no najkritičniji zavar je zavar gdje se nalazi radijalno  
aksijalni ležaj u osloncu L4:



**Slika 37. Kritičan zavar kostura utovarivača i sile koje djeluju na njega**

Na zavar djeluju savojno i posmično naprezanje:



**Slika 38. Opterećenja na kritičnom zavaru kostura utovarivača**

$$\sigma_f = \frac{M_f}{I_y} * e \quad (1.144)$$

$$M_f = F_{L4x} * 144,5 = 50188,08 * 144,5 \quad (1.145)$$

$$M_f = 7252177,56 \text{ N/mm}^2 \quad (1.146)$$

$$I_y = \frac{b * h^3}{12} - \frac{b_u * h_u^3}{12} = \frac{200 * 100^3}{12} - \frac{190 * 90^3}{12} \quad (1.147)$$

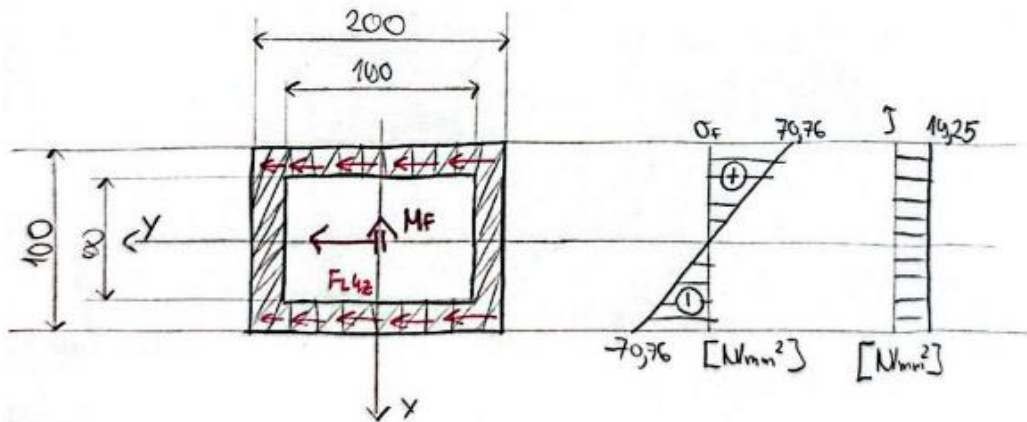
$$I_y = 5124166,67 \text{ mm}^4 \quad (1.148)$$

$$\sigma_f = \frac{7252177,56}{5124166,67} * 50 = 70,76 \text{ N/mm}^2 \quad (1.149)$$

$$\tau = \frac{F_{L4z}}{A} = \frac{38490,36}{2 * 200 * 5} = 19,25 \text{ N/mm}^2 \quad (1.150)$$

$$\sigma_{ekv} = \sqrt{\sigma_f^2 + 3 * \tau^2} = \sqrt{70,76^2 + 3 * 19,25^2} \quad (1.151)$$

$$\sigma_{ekv} = 78,22 \text{ N/mm}^2 \quad (1.152)$$



**Slika 39.** Iznosi naprezanja duž presjeka kritičnog zavara kostura utovarivača

Odabrani materijal kostura je čelik Č0561 te je stoga sigurnost [1]:

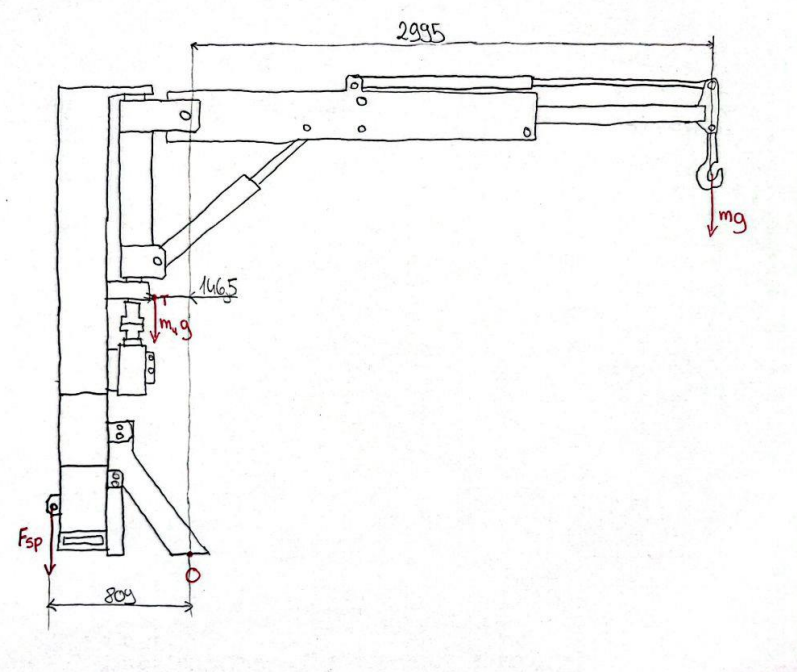
$$S = \frac{\sigma_{dop}}{\sigma_{ekv}} = \frac{160}{78,22} = 2,04 \geq S_{potr} = 2 \quad (1.153)$$

Zavar zadovoljava.

## 5.11. Mehanička veza utovarivača sa traktorom

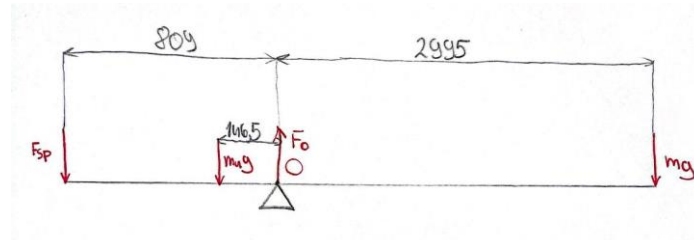
### 5.11.1 Proračun sile

Mehanička veza utovarivača sa traktorom izrađena je prema ISO 730-2009 normi za trozglobni spoj utovarivača sa traktorom. Sile koje utječu na spoj računati ćemo u najnepovoljnijem položaju utovarivača. Sile koje djeluju na spoj možemo vidjeti na slici 40.



**Slika 40.** Položaj sile pri kritičnom položaju utovarivača

Na spoj djeluje ukupna masa utovarivača koja se nalazi u težištu konstrukcije te masa tereta. Težište konstrukcije je dobiveno pomoću Solidworks-a kada je napravljen konačni model utovarivača i kad su dodani materijali elemenata utovarivača. Silu ćemo izračunati principom klackalice gdje oslonac klackalice predstavlja točka O na slici 40. Na slici 41 nalazi se pojednostavljeni oblik klackalice:



Slika 41. Utovarivač pojednostavljen principom klackalice

$$\sum M_O = 0 \quad (1.154)$$

$$m_u * g * 146,5 + F_{sp} * 809 = m * g * 2995 \quad (1.155)$$

$$1854 * 9,81 * 146,5 + F_{sp} * 809 = 800 * 9,81 * 2995 \quad (1.156)$$

$$F_{sp} = 25760,51 N \quad (1.157)$$

Gdje su:

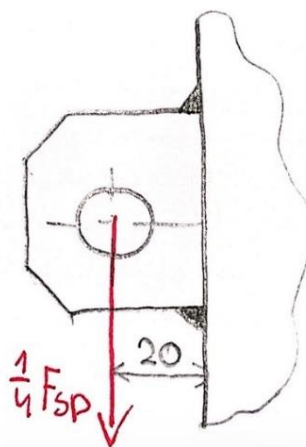
$m_u$ =ukupna masa utovarivača

$F_{sp}$ =sila reakcije na osloncu spoja traktora i utovarivača

### 5.11.2. Proračun zavara

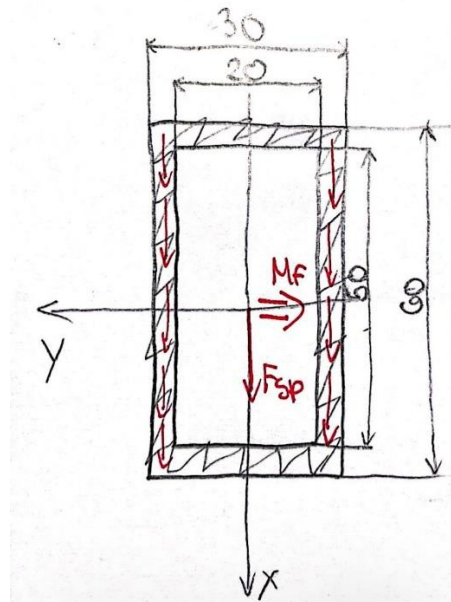
Pošto sila reakcije na osloncu spoja traktora i utovarivača ima dva mesta gdje se prenosi sila te pošto se svako mjesto sastoji od dvije vilice, na jednu vilicu spoja djeluje  $\frac{1}{4} F_{sp}$ .

Na slici 42 možemo vidjeti odnos sila na zavareni element utovarivača:



Slika 42. Položaj sile u obziru na zavar

Iz slike 42 možemo zaključiti kako je zavar opterećen na savojno i posmično naprezanje:



Slika 43. Opterećenja na kritičnom zavaru vilice spoja traktora i utovarivača

$$\sigma_f = \frac{M_f}{I_y} * e \quad (1.158)$$

$$M_f = \frac{1}{4} F_{sp} * 20 = \frac{1}{4} * 25760 * 20 \quad (1.159)$$

$$M_f = 128800 \text{ N/mm}^2 \quad (1.160)$$

$$I_y = \frac{b * h^3}{12} - \frac{b_u * h_u^3}{12} = \frac{30 * 60^3}{12} - \frac{20 * 50^3}{12} \quad (1.161)$$

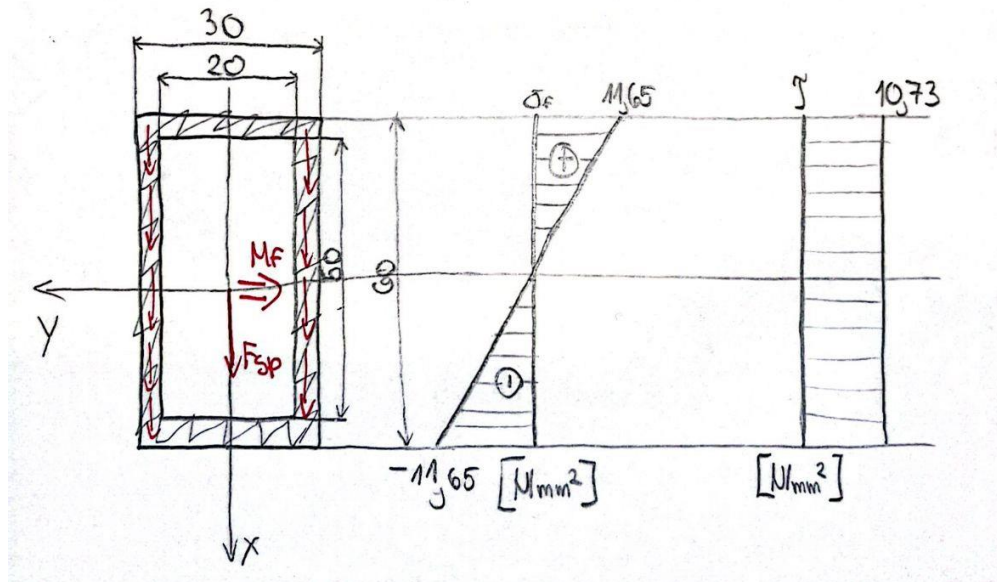
$$I_y = 331666,667 \text{ mm}^4 \quad (1.162)$$

$$\sigma_f = \frac{128800}{331666,667} * 30 = 11,65 \text{ N/mm}^2 \quad (1.163)$$

$$\tau = \frac{\frac{1}{4} * F_{sp}}{A} = \frac{\frac{1}{4} * 25760}{2 * 60 * 5} = 10,73 \text{ N/mm}^2 \quad (1.164)$$

$$\sigma_{ekv} = \sqrt{\sigma_f^2 + 3 * \tau^2} = \sqrt{11,65^2 + 3 * 10,73^2} \quad (1.165)$$

$$\sigma_{ekv} = 21,93 \text{ N/mm}^2 \quad (1.166)$$



**Slika 44. Iznosi naprezanja duž presjeka kritičnog zavara vilice**

Odabrani materijal elementa je Č0561 te je stoga sigurnost [1]:

$$S = \frac{\sigma_{dop}}{\sigma_{ekv}} = \frac{160}{21,93} = 7,3 \geq S_{potr} = 2 \quad (1.167)$$

Zavar zadovoljava.

## 6. ODABIR HIDRAULIČKIH KOMPONENTI UTOVARIVAČA

### 6.1. Odabir hidrauličkog rotacijskog aktuatora

Kako bi mogli odabrati hidraulički rotacijski aktuator, potrebno je prvo izračunati potrebni rotacijski moment. Pošto se bavimo proračunom rotacijskog momenta koji ovisi o kutnoj brzini, odrediti ćemo da se ruka utovarivača rotira 9 stupnjeva po sekundi. Razlog tako sporog gibanja jer iz sigurnosnog razloga, to jest ako je brzina prevelika, tromost tereta može uzrokovati nepotrebne vibracije koje donose neproračunata opterećenja. Time riskiramo mogućnost loma.

Potrebni rotacijski moment tereta na određenom radijusu računamo formulom:

$$M_r = m * v * r \quad (2.1)$$

Gdje su:

$M_r$ =potrebni rotacijski moment

$m$ =masa tereta i elemenata koji rotiraju oko vertikalne osi

$v$ =iznos vektora brzine tereta okomit na polumjer kružnice kretnje

$r$ =udaljenost tereta od vertikalne osi rotacije

$$v = \omega * r \quad (2.2)$$

$\omega$ =kutna brzina tereta i ruke

Pošto se ruka rotira 9 stupnjeva po sekundi, kutna brzina ruke je:

$$\omega = 0,157 \text{ rad/s} \quad (2.3)$$

$$v = 0,157 * 3,3 \quad (2.4)$$

$$v = 0,5181 \text{ m/s} \quad (2.5)$$

$$m = 800 + 500 = 1300 \text{ kg} \quad (2.6)$$

$$M_r = 1300 * 0,5181 * 3,3 \quad (2.7)$$

$$M_r = 2222.649 \text{ Nm} \quad (2.8)$$

Nakon što smo odredili potrebni rotacijski moment možemo odabrati hidraulički rotacijski aktuator koji ispunjava naše potrebe. Izabran je hidraulički rotacijski aktuator HKS firme DA-H 100 te se njegovi tehnički podatci nalaze u tablici 4:

**Tablica 4. Tehničke specifikacije hidrauličkog rotacijskog aktuatora [8]**

Type	DA-H 40	DA-H 50	DA-H 63	DA-H 80	DA-H 100	DA-H 125	DA-H 140	DA-H 160
max. nominal torque at 210 bar (Nm)	200	340	650	1300	2500	5107	7100	11300
nominal torque (Nm/bar)	0.96	1.62	3.10	6.20	11.90	24.32	33.80	53.80
max. working pressure (bar)	210	210	210	210	210	210	210	210
max. radial load (N)	1567	2976	4364	7875	11250	17552	17800	36300
max. axial load (N)	8000	10000	14000	19050	24900	34100	34800	46200
Absorption volume (dm <sup>3</sup> )	Angle 90°	0.020	0.033	0.066	0.131	0.255	0.518	0.759
	Angle 180°	0.040	0.066	0.131	0.262	0.509	1.036	1.518
	Angle 270°	0.060	0.099	0.196	0.391	0.763	1.554	2.277
	Angle 360°	0.080	0.132	0.262	0.521	1.018	2.071	3.036
Weight (kg)	Angle 90°	4	5	8.5	16.7	24.1	47	74
	Angle 180°	4.5	5.8	9.8	19.1	29.2	55	87
	Angle 270°	5	6.9	11	21.5	34	63.5	101
	Angle 360°	5.5	7.4	12.2	24	38.5	72.5	115
								170

Aktuator maksimalni moment rotacije postiže pri maksimalnom tlaku od 210 bara, no pošto se utovarivač konstruira za pumpe traktora od 200 bara, aktuator će izdržati tlak pumpe.

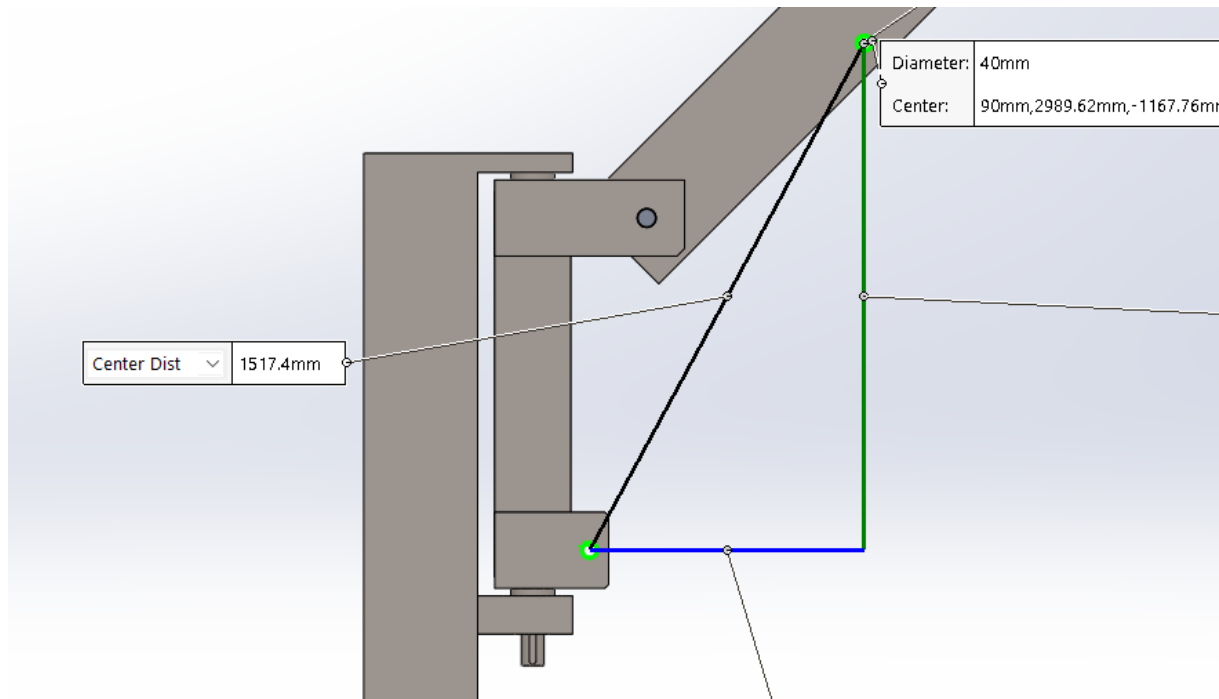
Iz tablice 4 možemo odrediti rotacijski moment koji aktuator može proizvesti pri 200 bara:

$$M_r = 2222,65 \text{ Nm} \leq M_{r,potr} = 2381 \text{ Nm} \quad (2.9)$$

Hidraulički rotacijski aktuator zadovoljava.

## 6.2. Odabir hidrauličkog cilindra podizanja

Iz iznosa (1.76) možemo zaključiti kako je potrebno da hidraulički cilindar ima mogućnost proizvesti silu od  $41037,71\text{ N}$  te to pri tlaku manjem od 200 bara. Produljenu dužinu možemo očitati na slici 45 na kojoj se nalazi položaj utovarivača pri maksimalnoj visini dizanja tereta:



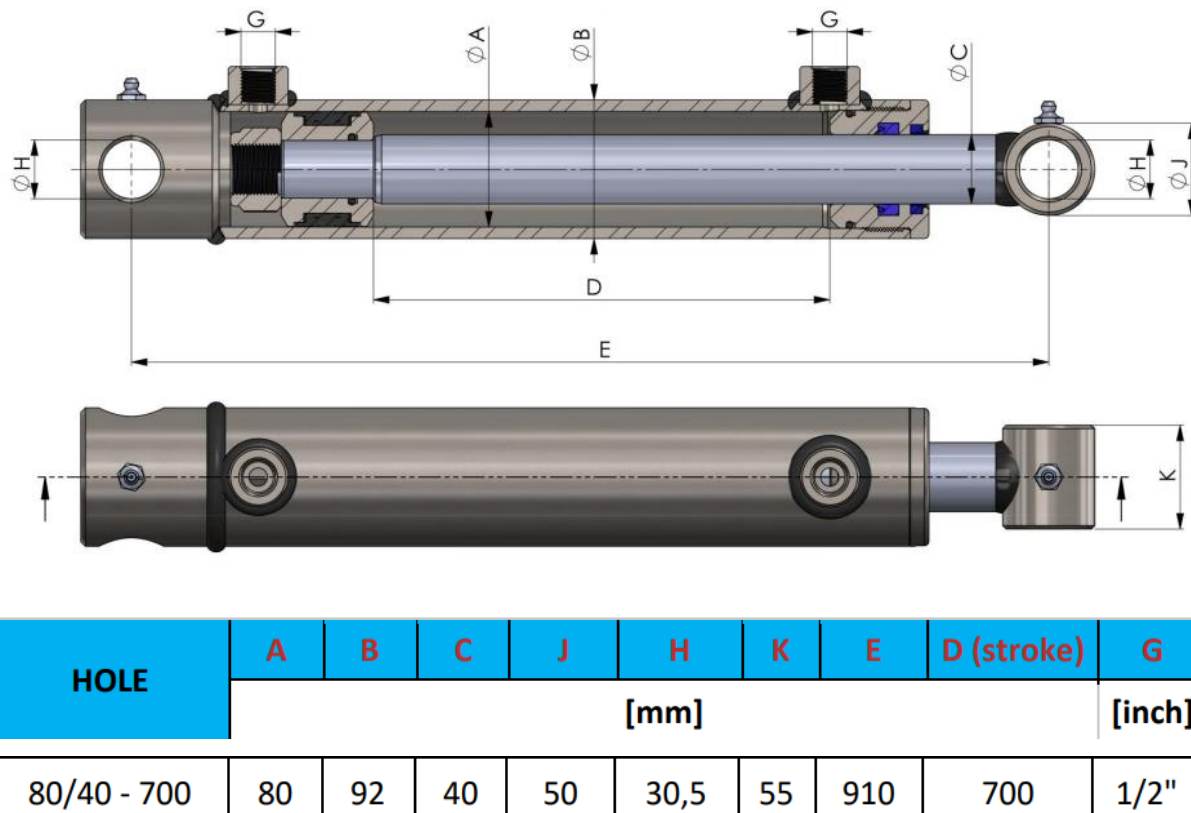
**Slika 45. Potrebna maksimalna duljina hidrauličnog cilindra**

Analizom potrebnih informacija odabran je hidraulički cilindar HOLE 80/40-700 tvrtke ROSI Teh te se njegove tehničke specifikacije nalaze u tablici 5:

**Tablica 5. Tehničke specifikacije hidrauličkog cilindra [12]**

<b>Snaga skupljanja cilindra ( kod 250 bara ):</b>	9,42 tona
<b>maksimalni pritisak:</b>	250 bar
<b>Vraćanje ili mjenjanje:</b>	14 dana
<b>Snaga razvučenja cilindra (kod 250 bara):</b>	12,56 tona
<b>Maksimalna brzina:</b>	0,5 m/s
<b>Snaga razvučenja cilindra (kod 180 bara):</b>	9,04 tona
<b>Snaga skupljanja cilindra ( kod 180 bara ):</b>	6,78 tona

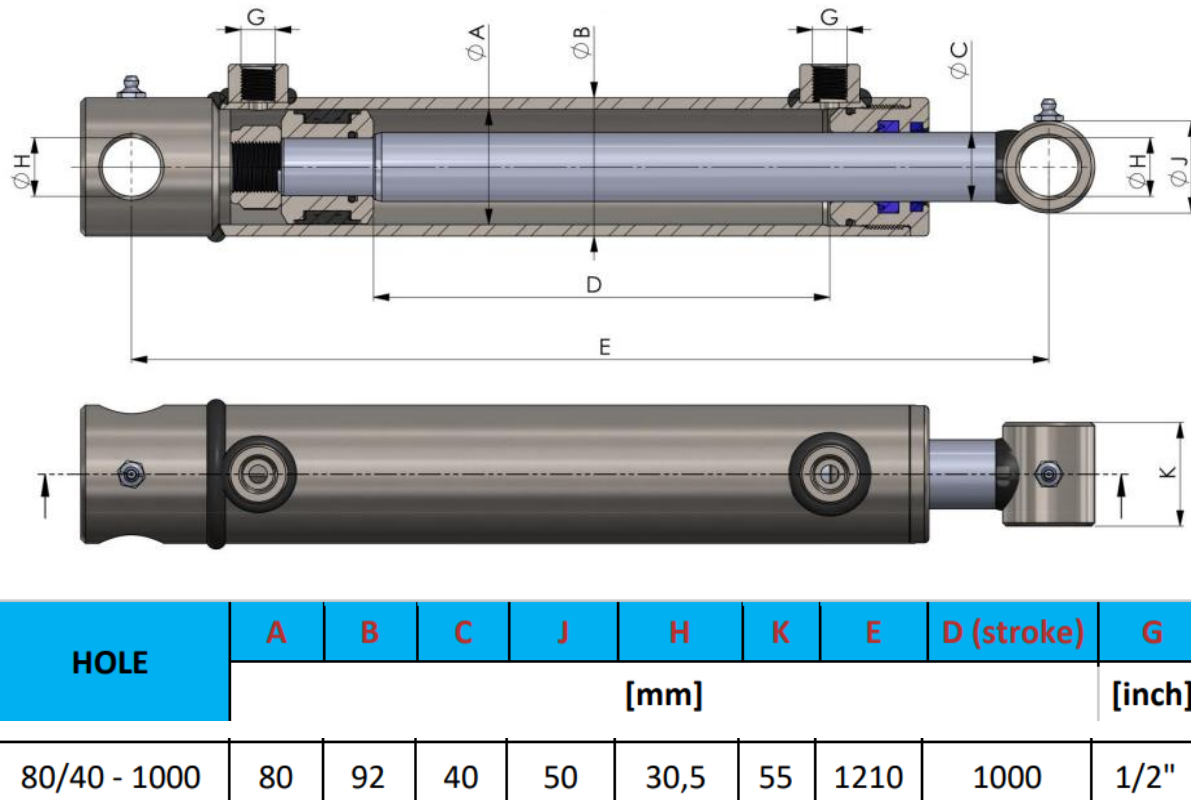
Dimenziije hidrauličkog cilindra nalaze se na slici 46:



Slika 46. Dimenzije hidrauličkog cilindra [13]

### 6.3.Odabir hidrauličkog cilindra produljenja ruke

Za izračun potrebne sile potrebno je znati sile trenja koje se protivi translatornom pomaku elementa za produljenje ruke. Pošto sile trenja djeluju na valjcima koji se rotiraju kugličnim ležajevima, možemo zaključiti kako je sila trenja ležajeva veoma niska te da ćemo osigurati dovoljnu hidrauličku силу zbog potrebnih dimenziija hidrauličkog cilindra. Nakon riješenog problema sa hidrauličkom silom, moramo znati potrebno moguće produljenje ruke. Analizom konstrukcije saznajemo da potrebno produljenje cilindra iznosi 1000 mm te stoga biramo hidraulički cilindar HOLE 80/40-1000 tvrtke ROSI Teh. Tehnički podatci cilindra nalaze se na slici 47:



Slika 47. Dimenzije aksijalnog hidrauličkog cilindra [12]

#### 6.4. Odabir razdjelnika za hidrauličko ulje

Pomoću razdjelnika za hidrauličko ulje upravljamo hidrauličkim sistemom utovarivača. Razdjelnik treba imati dovoljno dobru čvrstoću da podnese tlakove od 200 bara te mora imati 6 točaka spajanja pošto imamo 3 hidraulička elementa sa dvije spojne točke za hidrauličke cijevi. Nakon analize gore opisanih uvjeta, odabran je PVB06-PIN razdjelnik za hidrauličko ulje tvrtke Bijur Delimon International i njegove specifikacije nalaze se u tablici 6:

Tablica 6. Tehničke specifikacije razdjelnika ulja [14]

##### Technical Data

<b>Material</b>	Carbon steel with surface protection	
<b>Surface Protection</b>	Zinc-Nickel Plating	
<b>Minimum Pressure</b>	145 psi (10 bar)	
<b>Maximum Pressure</b>	5075 psi (350 bar)	
<b>Maximum Differential Pressure (between two outlets)</b>	1015 psi (70 bar)	
<b>Inlet</b>	1/8BSPP	
<b>Temperature Range</b>	-5° F to 176° F (-20° C to 80° C)	
<b>Metered Volume Per Outlet</b>	0.20cc (0.0012 cu. in.) per cycle	
<b>Lubricant</b>	Grease	Up to NLGI grade 2
	Oil	ISO VG 68 to 1,500 at working temp.
	Synthetics	Contact factory prior to use

## **7. ZAKLJUČAK**

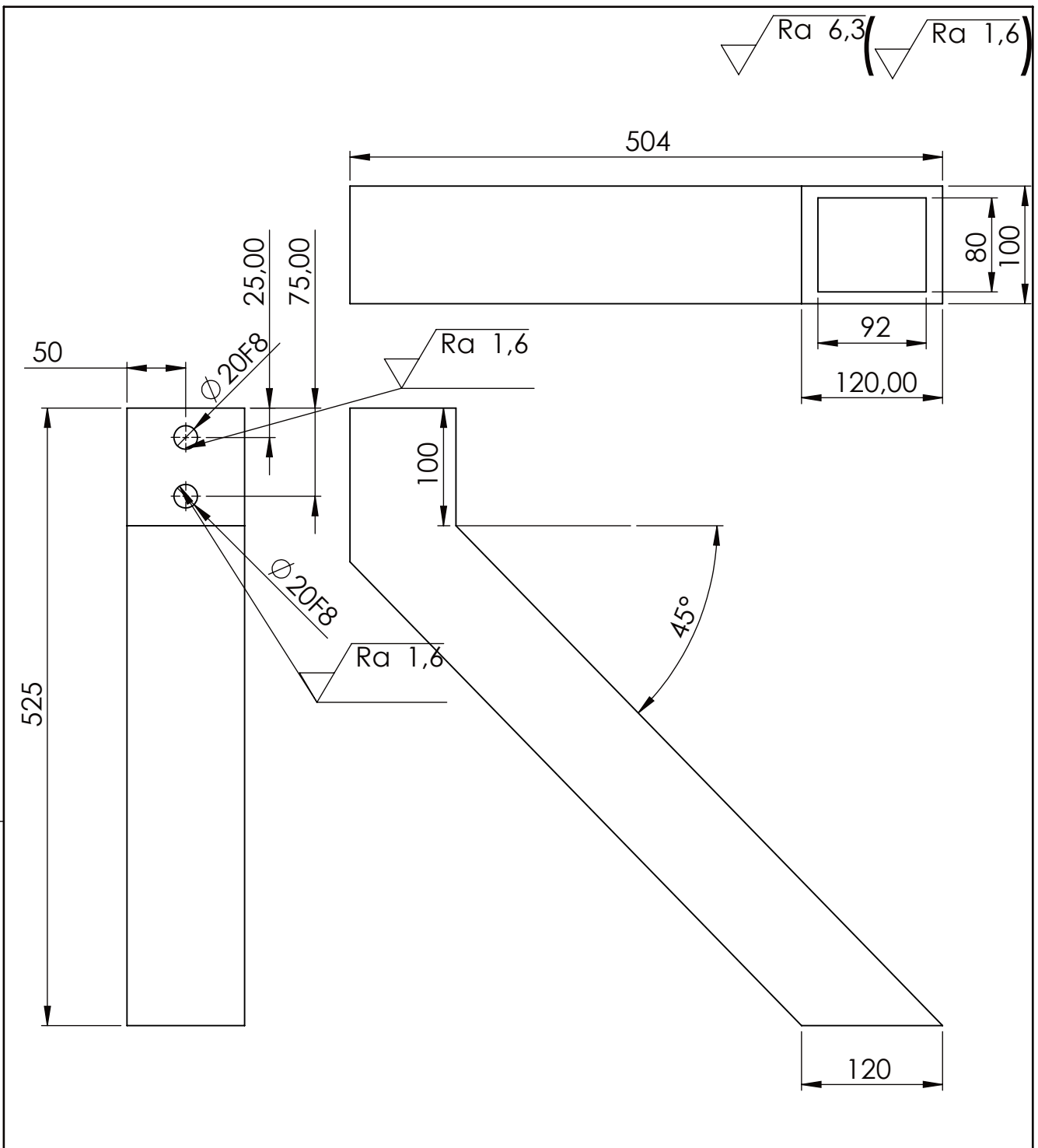
U ovome radu proveli smo proces razvoja utovarivača za velike vreće u poljoprivredi, od početne ideje do konačne konstrukcije. Prvo smo proučavali 3 postojeća modela na tržištu i njihove načine rješavanja određenih potproblema. Koristeći funkciju dekompoziciju odredili smo potprobleme na koje ćemo se bazirati. Zatim smo koristeći morfološku tablicu definirali tipove rješenja za određeni problem. Pomoću morfološke tablice osmislili smo tri koncepta rješenja. Na temelju prijašnje definiranih kriterija, odabrali smo 1 od 3 koncepta koji smo zatim konstruirali i proračunali na čvrstoču kako bi se osigurala njegova sigurnost u radu. Zatim smo napravili tehničke crteže i time smo završili proces razvoja utovarivača. Provedena analiza i proračun dokazuju da odabrani obrađeni koncept utovarivača ispunjava zadane tehničke zahtjeve te može služiti kao osnova za daljnju razradu.

## 8. LITERATURA

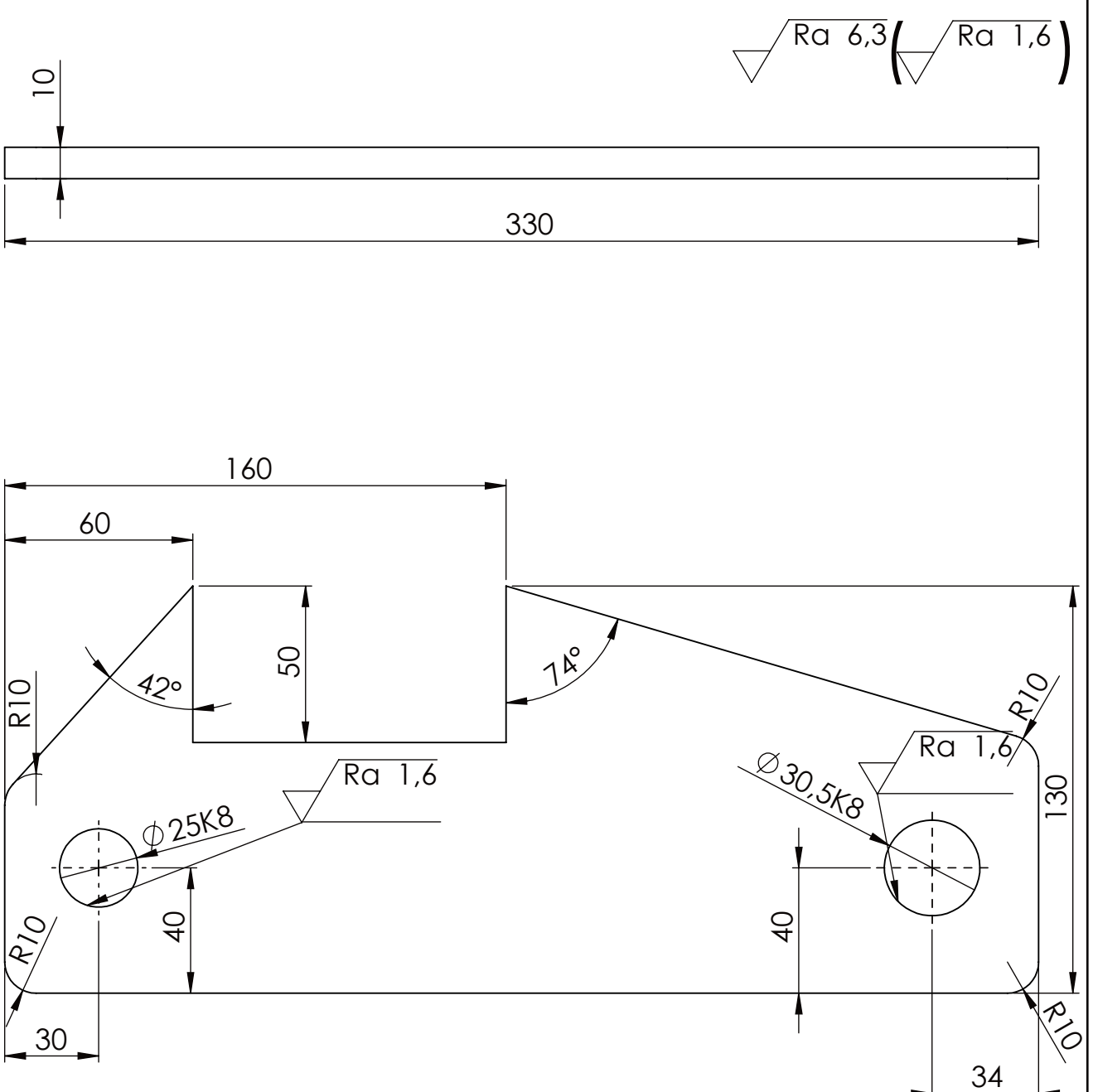
- [1] Kraut, B.: Strojarski priručnik, Tehnička knjiga Zagreb, 1970.
- [2] Decker, K. H.: Elementi strojeva, Tehnička knjiga Zagreb, 1975.
- [3] Herold, Z.: Računalna i inženjerska grafika, Zagreb, 2003.
- [4] <https://agronetto.hr/-/prodaja/podizaci-velikih-vreca/Metalbert--22032212553840219400>
- [5] [https://agronetto.hr/-/prodaja/podizaci-velikih-vreca/DL-Agro--25013016191917231900?utm\\_source=chatgpt.com](https://agronetto.hr/-/prodaja/podizaci-velikih-vreca/DL-Agro--25013016191917231900?utm_source=chatgpt.com)
- [6] <https://www.agrimerin.com.tr/Big-Bag-Lifter.html>
- [7] <https://www.skf.com/group/products/super-precision-bearings/angular-contact-ball-bearings/productid-7020%20CD%2FP4A>
- [8] [https://www.hks-partner.com/fileadmin/Dokumente/Products/INDUSTRY\\_SERIES/DA-H/DA\\_H\\_DHK\\_eng.pdf](https://www.hks-partner.com/fileadmin/Dokumente/Products/INDUSTRY_SERIES/DA-H/DA_H_DHK_eng.pdf)
- [9] <https://uk.misumi-ec.com/vona2/detail/110300420820/?CategorySpec=00000196267%3A%3Aa%0900000196246%3A%3Aa%0900000196278%3A%3Ab%0900000291926%3A%3Amig0000002014682&rid=cat>
- [10] <https://uk.misumi-ec.com/vona2/detail/110300420820/?KWSearch=roller&searchFlow=results2products>
- [11] <https://www.rositeh.hr/media/SlikeIT/Datoteke/Hidravlični%20cilindri%20HOLE%20-%20dimenzije%20-%20tehnicični%20list.pdf>
- [12] <https://www.rositeh.hr/hidraulicni-cilindar-hole-80-40-1000>
- [13] <https://www.rositeh.hr/hidraulicni-cilindar-hole-80-40-700>
- [14] <https://www.bijurdelen.com/default/amfile/file/download/file/303/product/20653/>
- [15] <https://to-order.shop/product/big-bag-vrece-95x95x140-cm-ulazni-ventil-ravno-dno-5-kom/>
- [16] <https://www.mcmaster.com/98350A305/>
- [17] <https://www.mcmaster.com/90180A617/>
- [18] <https://www.mcmaster.com/94863A212/>
- [19] <https://www.mcmaster.com/90180A625/>
- [20] <https://www.mcmaster.com/94645A111/>

## **9. PRILOZI**

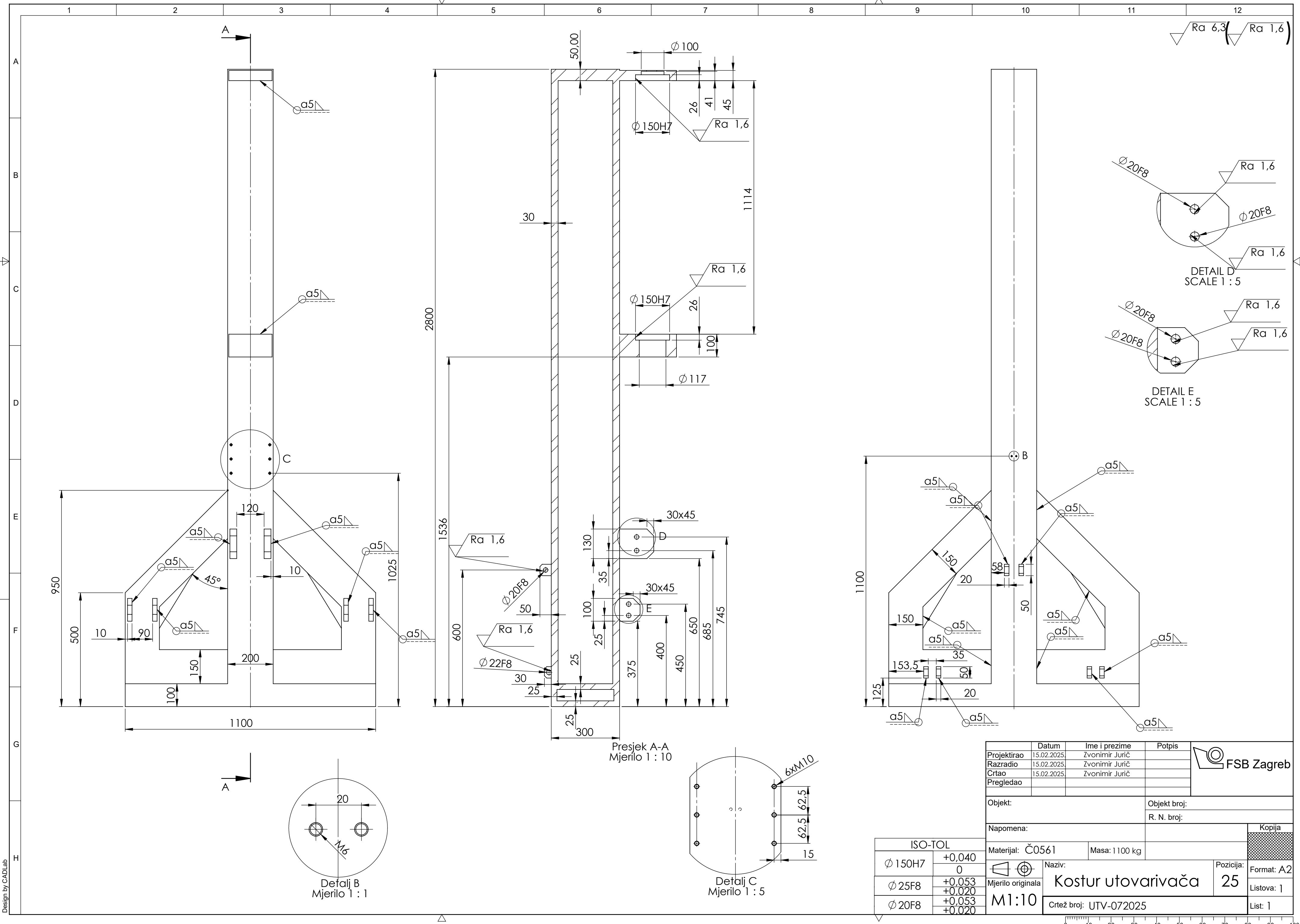
- I. CD-R disc
- II. Tehnička dokumentacija

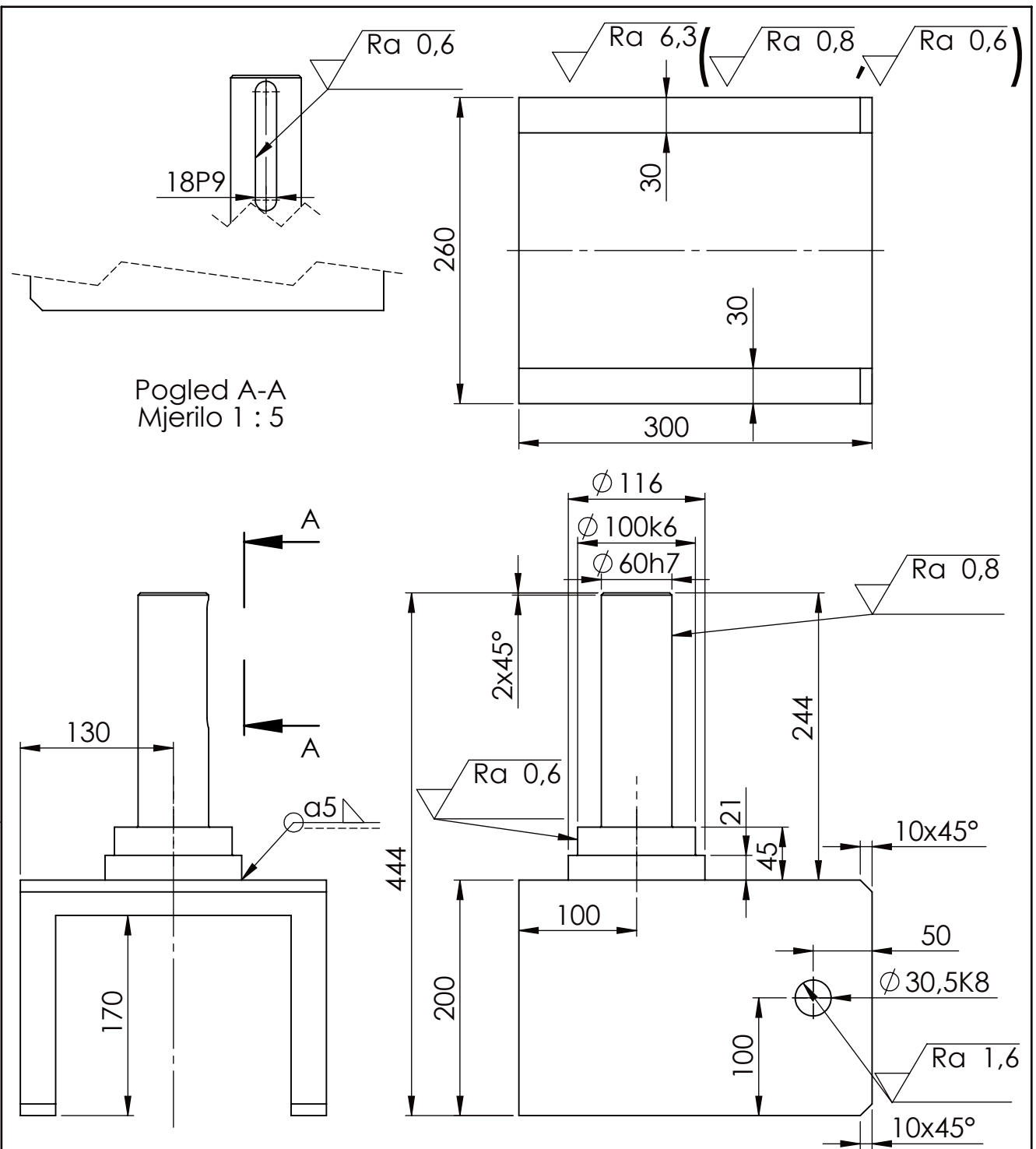


Broj naziva - code		Datum	Ime i prezime	Potpis	 FSB Zagreb
	Projektirao	15.02.2025	Zvonimir Jurić		
	Razradio	15.02.2025	Zvonimir Jurić		
	Crtao	15.02.2025	Zvonimir Jurić		
	Pregledao				
ISO - tolerancije	Objekt:		Objekt broj:		
Ø 20F8	+0,053 +0,020				
				R. N. broj:	
		Napomena:			Kopija
		Materijal: Č0645	Masa: 17,5 kg		
Design by CADLab	Mjerilo originala	Naziv: <b>Bočna potporna noga</b>	Pozicija: <b>26</b>	Format: A4	
	M1:5	Crtež broj: UTV-082025		Listova: 1	
				List: 1	



Broj naziva - code		Datum	Ime i prezime	Potpis	<b>FSB Zagreb</b>
	Projektirao	2.2.2025.	Zvonimir Jurič		
	Razradio	2.2.2025.	Zvonimir Jurič		
	Crtao	2.2.2025.	Zvonimir Jurič		
	Pregledao				
ISO - tolerancije	Objekt:		Objekt broj:		
Ø 30,5K8 +0,012 -0,027			R. N. broj:		
Ø 25K8 +0,010 -0,023	Napomena:				Kopija
	Materijal: Č0645	Masa: 2,3 kg			
	Naziv: <b>Držač kuke</b>		Pozicija: <b>3</b>		Format: A4
Design by CADLab	Mjerilo originala <b>M1:2</b>				Listova: 1
		Crtež broj: UTV-012025			List: 1



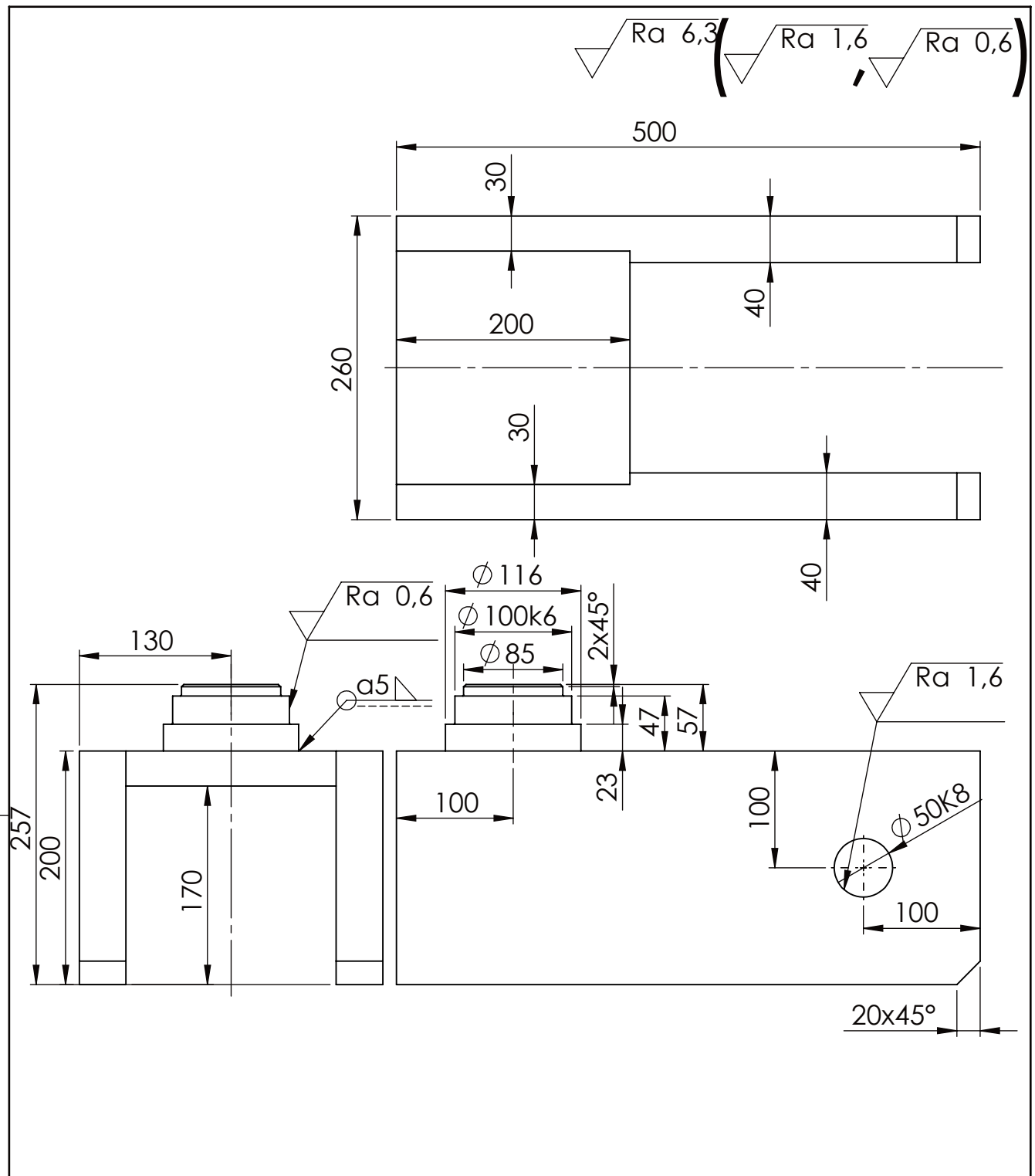


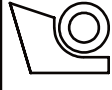
Broj naziva - code		Datum	Ime i prezime	Potpis
	Projektirao	2.2.2025.	Zvonimir Jurić	
	Razradio	2.2.2025.	Zvonimir Jurić	
	Crtao	2.2.2025.	Zvonimir Jurić	
	Pregledao			

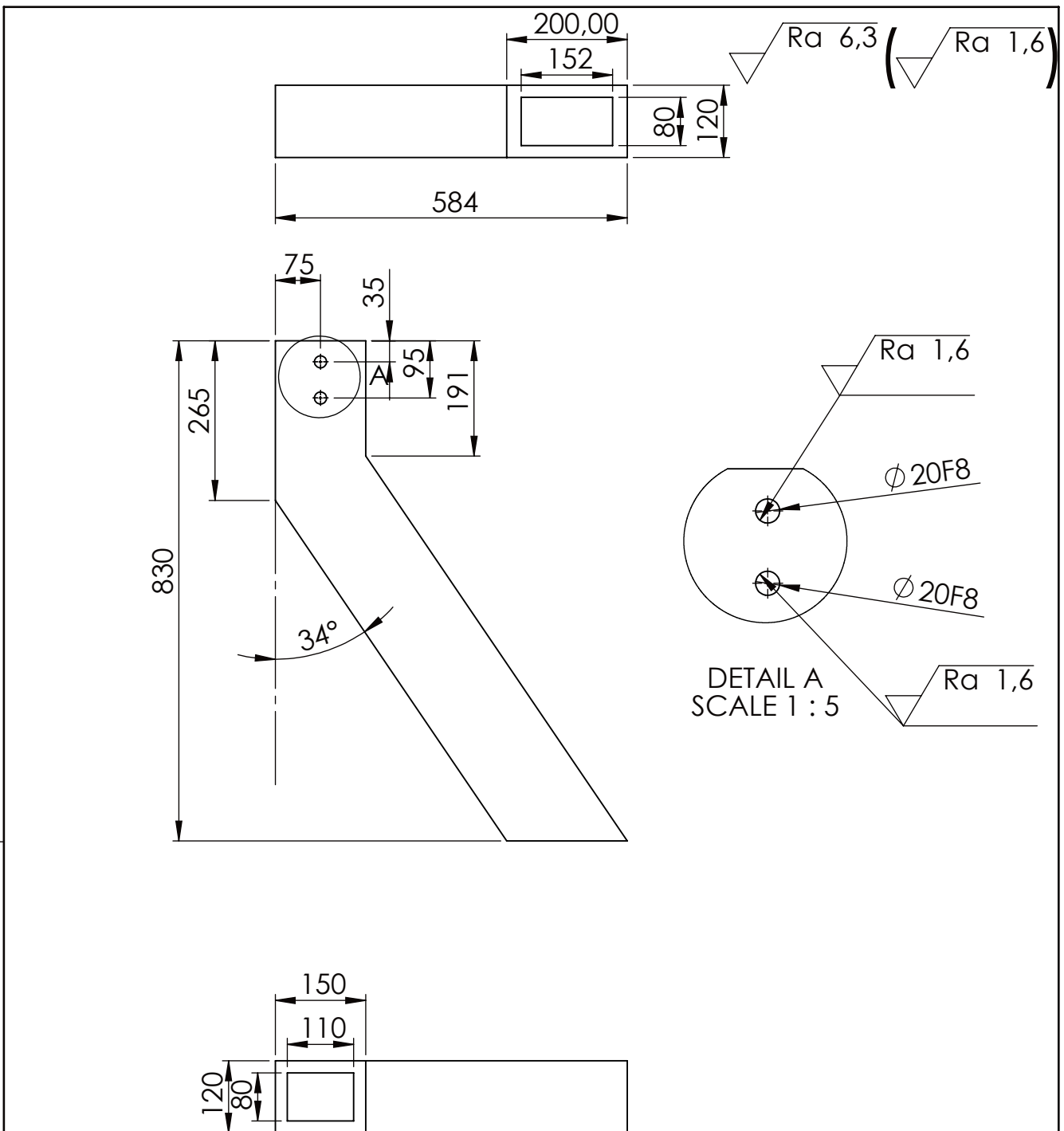
FSB Zagreb

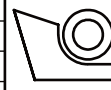
  

ISO - tolerancije		Objekt:	Objekt broj:	
Ø 30,5K8	+0,012 -0,027			R. N. broj:
Ø 100k6	+0,025 +0,003	Napomena:		Kopija
Ø 60h7	0 -0,030	Materijal: Č0561	Masa: 46 kg	
18P9	-0,018 -0,061	 Naziv: <b>Oslonac cilindra</b>	Pozicija: <b>18</b>	Format: A4
		 Mjerilo originala <b>M1:5</b>		Listova: 1
		Crtež broj: UTV-032025		

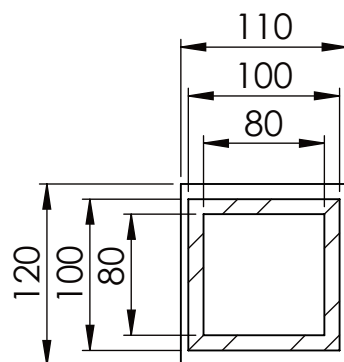
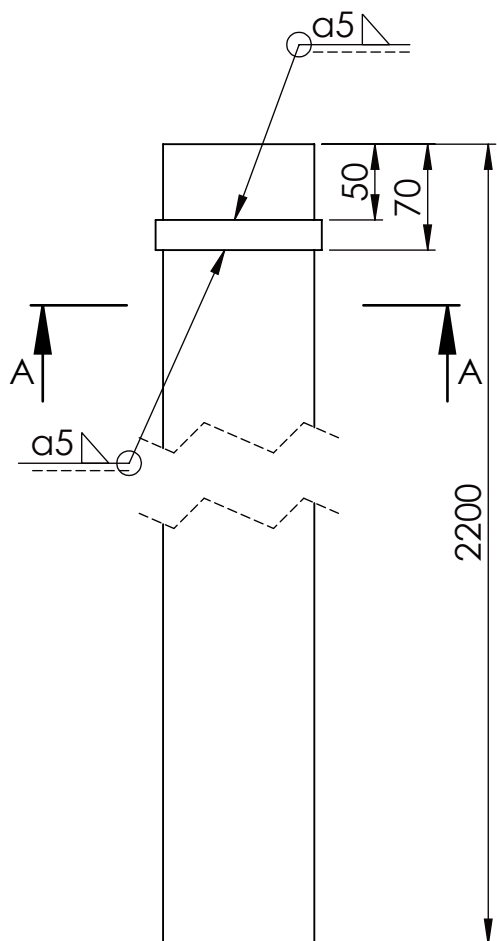


Broj naziva - code	Datum	Ime i prezime	Potpis	 FSB Zagreb
	Projektirao	2.2.2025.	Zvonimir Jurić	
	Razradio	2.2.2025.	Zvonimir Jurić	
	Crtao	2.2.2025.	Zvonimir Jurić	
	Pregledao			
ISO - tolerancije	Objekt:	Objekt broj:		
Ø 50K8 +0,012 -0,027			R. N. broj:	
Ø 100k6 +0,025 +0,003	Napomena:			Kopija
	Materijal: Č0561	Masa: 68 kg		
Design by CADLab	Mjerilo originala M1:5	Naziv: Oslonac ruke	Pozicija: 15	Format:A4 Listova: 1 List: 1
		Crtež broj: UTV-042025		



Broj naziva - code	Datum	Ime i prezime	Potpis	 FSB Zagreb
	Projektirao	3.2.2025.	Zvonimir Jurič	
	Razradio	3.2.2025.	Zvonimir Jurič	
	Crtao	3.2.2025.	Zvonimir Jurič	
	Pregledao			
ISO - tolerancije	Objekt:	Objekt broj:		
Ø 20F8	+0,053			
	+0,020			
		R. N. broj:		
	Napomena:			Kopija
	Materijal: Č0645	Masa: 71 kg		
	Mjerilo originala	Naziv: Srednja potporna noga	Pozicija: 24	Format: A4
	M1:10			Listova: 1
		Crtež broj: UTV-062025		List: 1

Ra 6,3



Presjek A-A  
Mjerilo 1 : 5

Broj naziva - code	Datum	Ime i prezime	Potpis
	Projektirao	3.2.2025.	Zvonimir Jurić
	Razradio	3.2.2025.	Zvonimir Jurić
	Crtao	3.2.2025.	Zvonimir Jurić
	Pregledao		
ISO - tolerancije		Objekt:	Objekt broj:
			R. N. broj:
		Napomena:	Kopija
		Materijal: Č0645	Masa: 58,3 kg
Design by CADLab	Mjerilo originala <b>M1:5</b>	Naziv: <b>Produžena ruka</b>	Pozicija: <b>5</b>
		Crtež broj: UTV-052025	Format: A4
			Listova: 1
			List: 1

